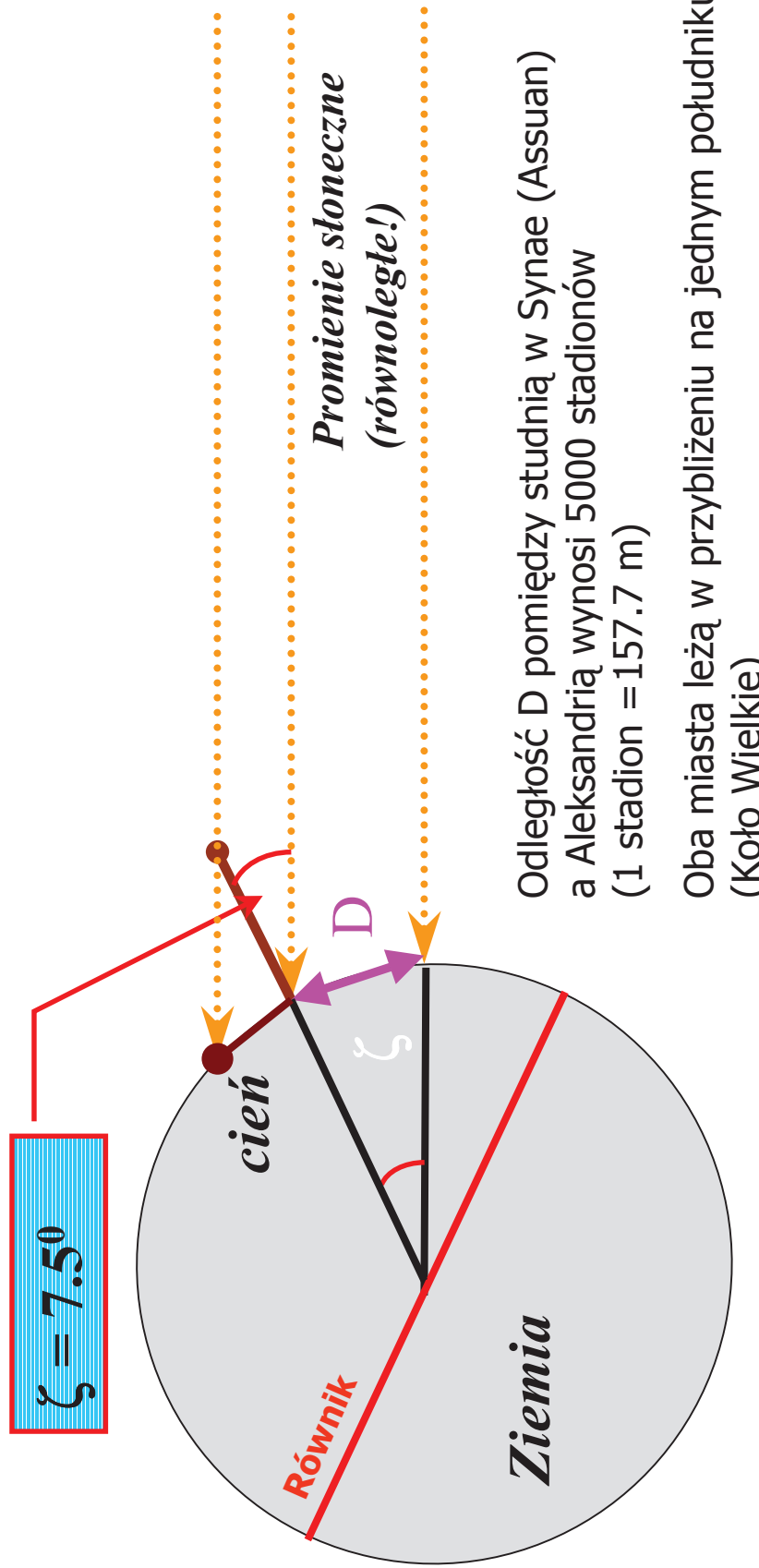


Rozdział VI

Kształt i rozmiar Ziemi, zjawiska na powierzchni Ziemi
związane z ruchem obrotowym



Doświadczenie Eratostenesa - pomiar rozmiarów Ziemi

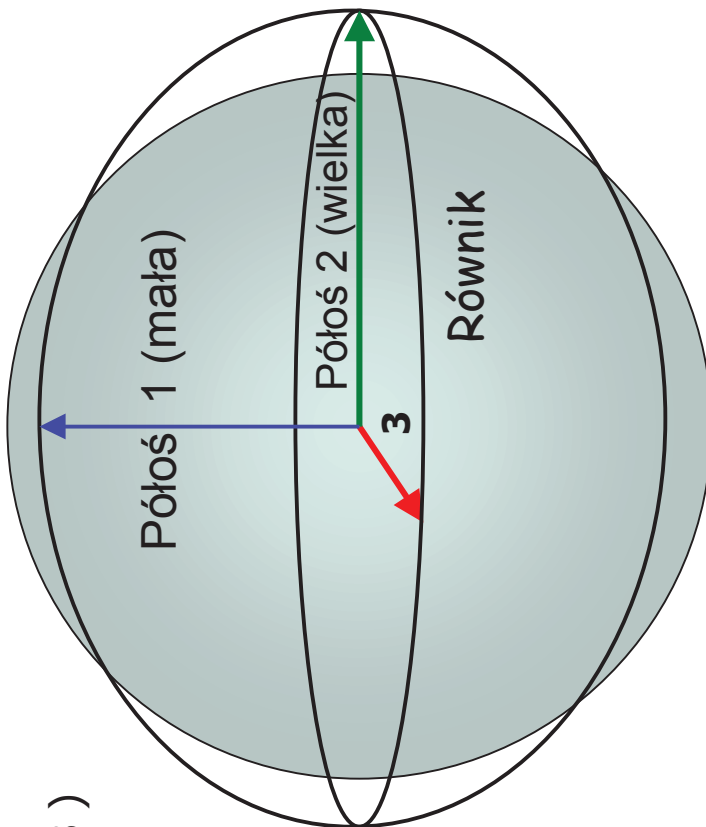


W Syne Słońce było w Zenicie,
a w Aleksandrii nie!

Przybliżenia kształtu Ziemi

1. Kula (stały promień)
2. Elipsoida obrotowa
równik jest kołem (różne półosie 1 i 2)
3. Elipsoida trójosiodła
Równik jest elipsą (różne półosie 2 i 3)
4. Geoidea

Biegun Ziemi



Elipsoida obrotowa

- Skonstruowana na podstawie pomiarów długości 1° fragmentów południków ziemskich na różnych szerokościach geograficznych
- Spłaszczenie Ziemi powoduje, że aby zmienić szerokość geograficzną o 1 stopień przy równiku trzeba przebyć inną drogę niż przy biegunie ($a > b$)

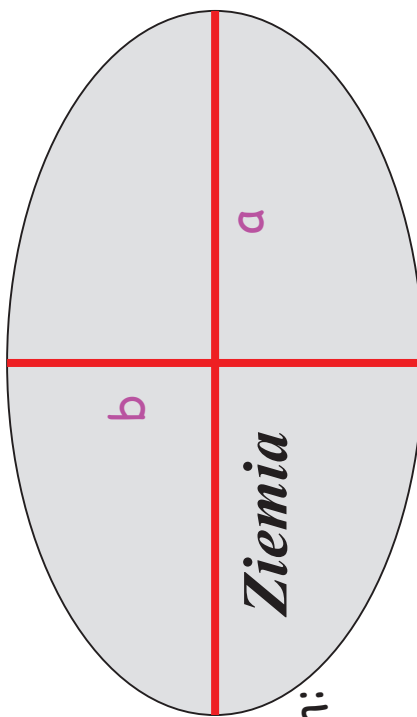
Elipsoida obrotowa WGS-84

- Promień równikowy Ziemi a
- Promień biegunkowy Ziemi b
- Spłaszczenie $s = (a-b)/a$
- Obecnie stosuje się elipsoidę o rozmiarach:

$$a = 6378137.0 \text{ m}$$

$$b = 6356087.0 \text{ m}$$

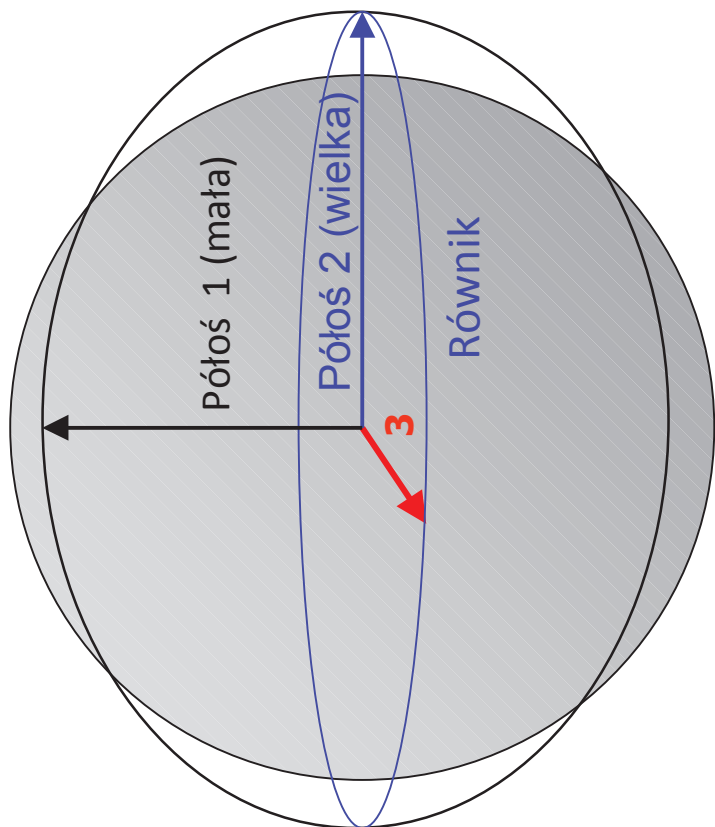
$$s = 1/298.25722356$$



Elipsoida trójsiowa

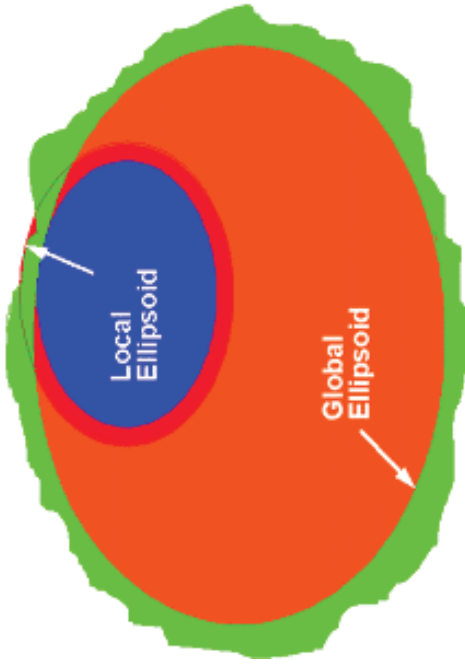
- Promień biegunkowy Ziemi jest o ok. 21 km krótszy od równikowego
- Równik ziemski nie jest kołem lecz elipsą, której wielka oś jest dłuższa o 200m od krótszej i oś skierowanej w kierunku południków: -15° i 165°
- Południowy promień biegunkowy jest o 30 m dłuższy od północnego

Biegun Ziemi

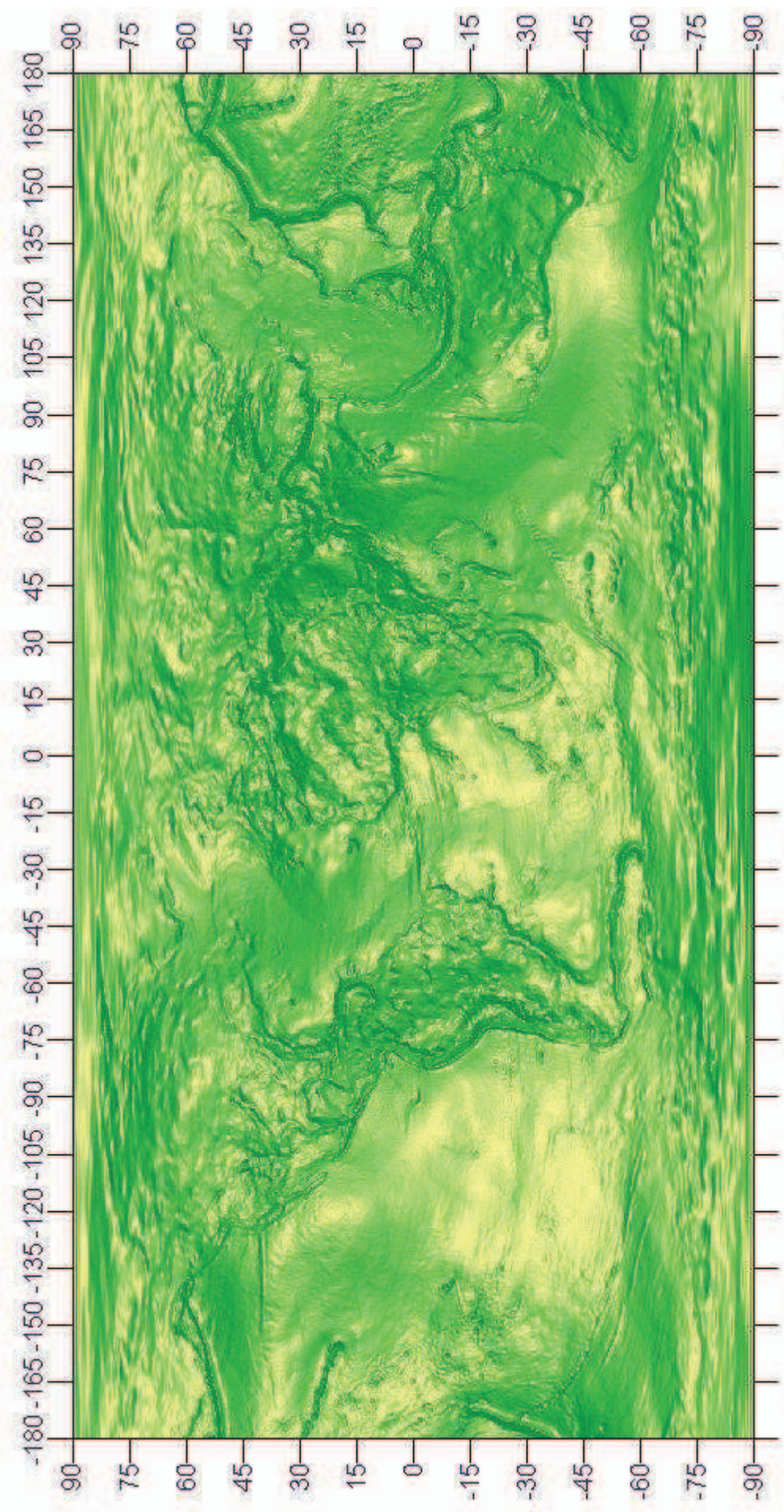


Geoida

Geoida jest to powierzchnia prostopadła do kierunku pionu w każdym punkcie
Może być wyznaczana lokalnie lub globalnie
Obecnie najczęściej stosuje się globalną geoidę WGS-84 (World Geodetic System)



Ellipsoida	Data	Promień równikowy	Promień biegunowy	Spłaszczenie biegunowe	Gdzie jest używana
Airy	1830	3962.65	3949.32	1/299.32	Great Britain
Australian	1969	3962.93	3949.64	1/298.25	Australia, South America
Bessel	1841	3962.46	3949.21	1/299.15	China, Korea, Japan
Clarke	1866	3962.96	3949.53	1/294.98	North America, Central America, Greenland
Clarke	1880	3962.99	3949.48	1/293.46	Much of Africa
Everest	1830	3962.38	3949.21	1/300.80	India, Southeast Asia, Indonesia
GRS	1980	3962.94	3949.65	1/298.25	Newly adopted for North America
International	1924	3962.07	3949.73	1/297.00	Europe, Individual states in South America
Krassovsky	1940	3962.98	3949.7	1/298.30	Russia
WGS	1972	3962.92	3949.62	1/298.26	NASA, US DOD, oil companies, Russia



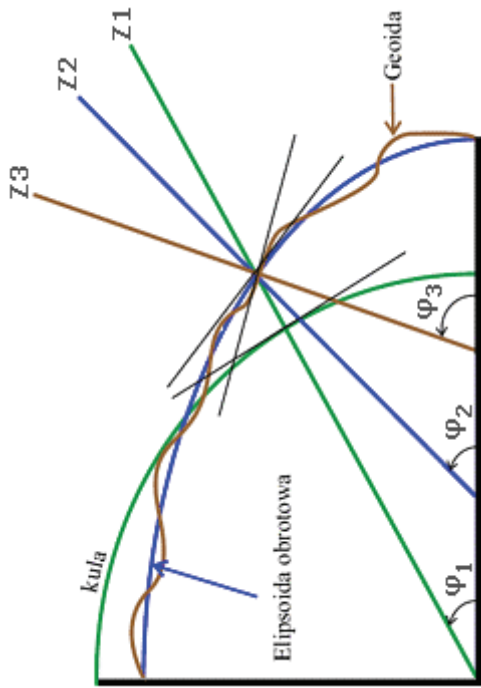
National Imagery and Mapping Agency 0.25 Degree WGS-84 Geoid Model

Shaded Relief (light from 315° azimuth, 80° elevation) by Peter H. Dana 6/6/97

Współrzędne geograficzne

W zależności od tego jaką figurą przybliżamy powierzchnię Ziemi, wyróżniamy:

1. szerokość astronomiczną (geoida),
2. szerokość geodezyjną (elipsoida obrotowa)
3. szerokość geocentryczną (kula).



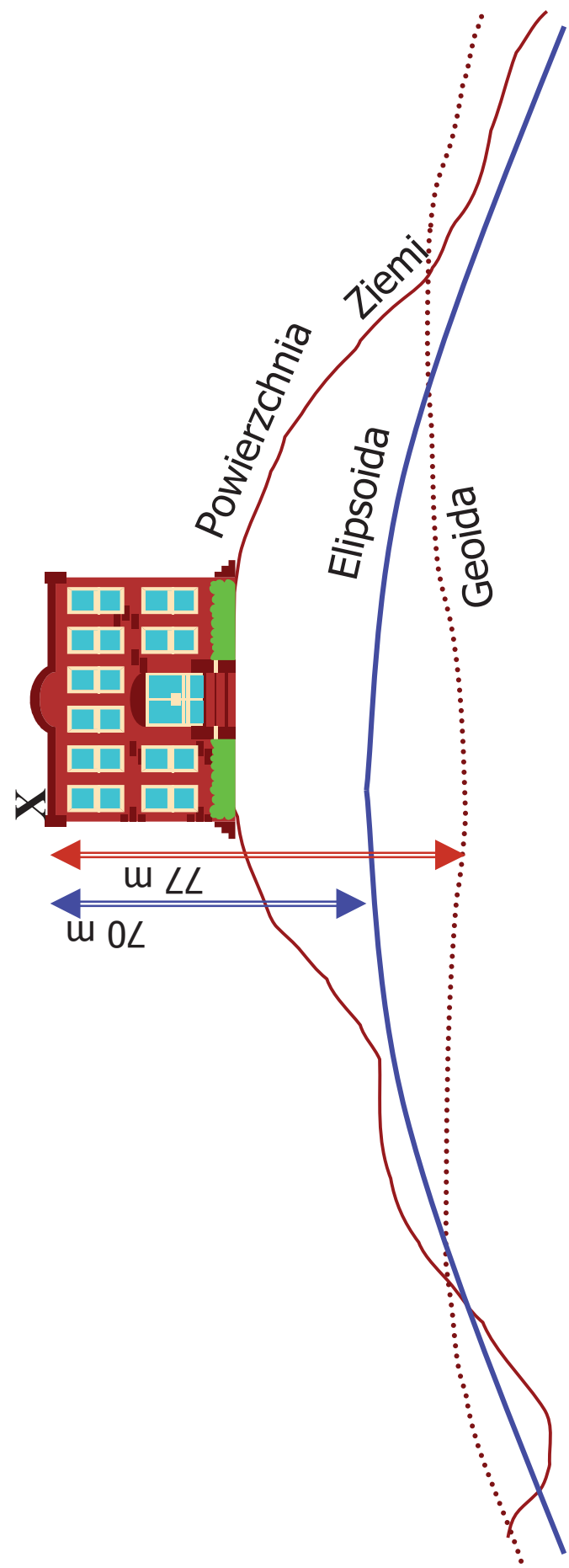
Astronomiczną szerokością geograficzną nazywamy kąt jaki tworzy kierunek pionu (linia zenit-nadir) z jego rzutem prostym na płaszczyznę równika.

Geodezyjna szerokość geograficzna to kąt pomiędzy linią prostopadłą do powierzchni elipsoidy obrotowej, a jej rzutem na płaszczyznę równika.

Geocentryczna szerokość geograficzna to kąt pomiędzy prostą łączącą środek Ziemi a jej rzutem na płaszczyznę równika.

Uwaga: na mapach mamy albo szerokość astronomiczną, albo geodezyjną (mapy geodezyjne). Szerokość geocentryczna różni się od astronomicznej o około 11' dla punktów położonych w odległości 50° od równika.

Wysokość n.p.m. zależy od układu odniesienia



Uwagi związane z kształtem i ruchem obrotowym Ziemi

Niesferyczność Ziemi ma istotny wpływ na ruch obrotowy Ziemi.

Z rówrań Eulera ruchu obrotowego dla bryły sztywnej wynika, że oś obrotu Ziemi zmienia swoje położenie względem układu współrzędnych sztywno związanych z Ziemią. W przybliżeniu bryły sztywnej okres ten wynosiły 303 dni, w rzeczywistości Ziemia nie jest bryłą sztywną i wynosi on około 420 dni.

Ruch bieguna ma wpływ na współrzędne geograficzne. Współrzędne geograficzne mogą być chwilowe odnoszące się do chwilowego położenia bieguna i umowne, odniesione do umownego (międzynarodowego) układu współrzędnych.

$$\varphi - \varphi' = -x \cos \lambda + y \sin \lambda \quad x, y - \text{współrzędne chwilowego bieguna Ziemi} - \text{http://www.iers.org}$$

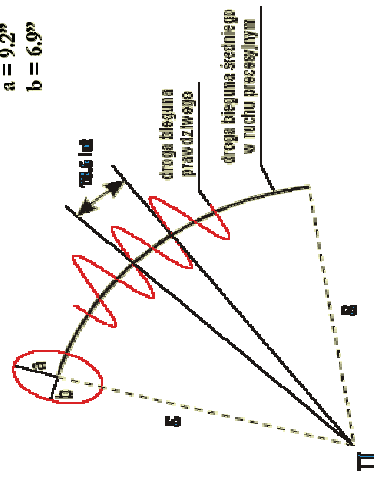
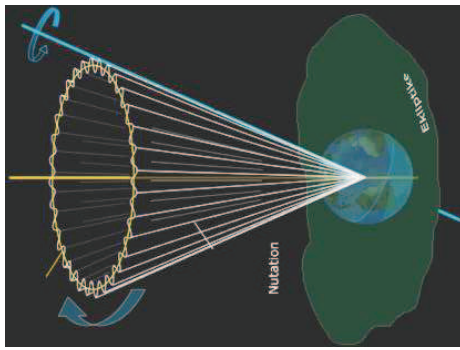
$$\lambda - \lambda' = -\cos \lambda - y \sin \lambda$$

Oś obrotu Ziemi wykonuje nie tylko ruch precesyjny ale i nutacyjny – zmienia się nachylenie płaszczyzny równika do płaszczyzny ekliptyki. W dodatku ruch punktu Barana przestaje być jednostajny. W przybliżeniu:

$$\begin{aligned} \mathcal{E} &= 84381.448'' - 48.8150'' \cdot T - 0.000059'' \cdot T^2 + 0.0011813'' \cdot T^3 \quad \text{gdzie } T = (JD - JD2000) / 36525 \\ JD2000 &= 2451545.0 \quad JD(21-04-2007 12:00UT) = 2454212.0 \quad (\text{czyli } T \text{ wyrażone jest w stuleciach gwiaźdowych}) \end{aligned}$$

Jasne, że efekty te oddziałują na czasy w astronomii – np. mamy do czynienia z czasem gwiaźdzowym prawdziwym i średnim. Dla nas to nieistotne, ale geodezji satelitarnej tak.

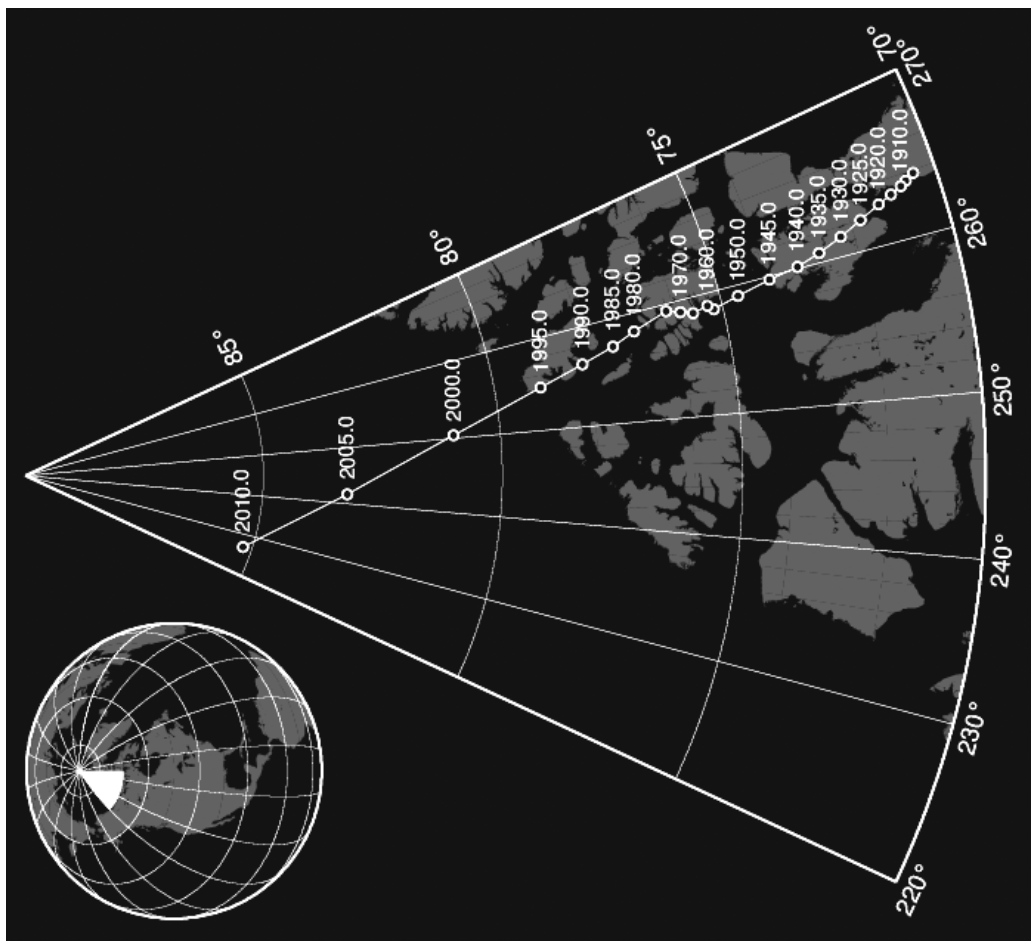
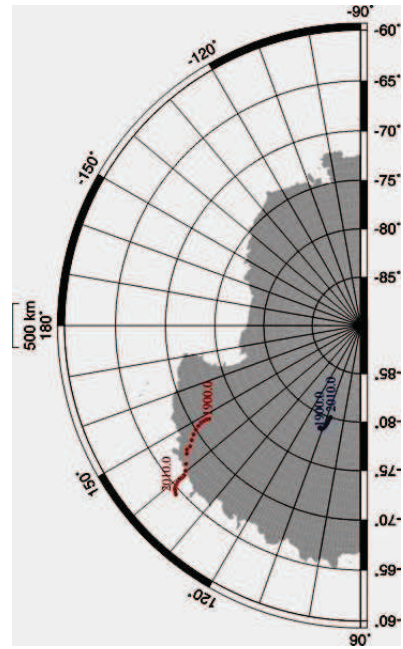
Zwrócić uwagę, że węzły orbity Księżyca wędrują po ekliptyce z okresem również 18.6 la
Oba efekty mają tę samą przyczynę – oddziaływanie Słońca-Ziemia-Księżyca.
Te same oddziaływanie powodują zwalnianie okresu gwiaźdzowego obrotu Ziemi o około 0.5ms/rok



Biegun magnetyczny

Południowy biegun magnetyczny

Północny biegun geograficzny



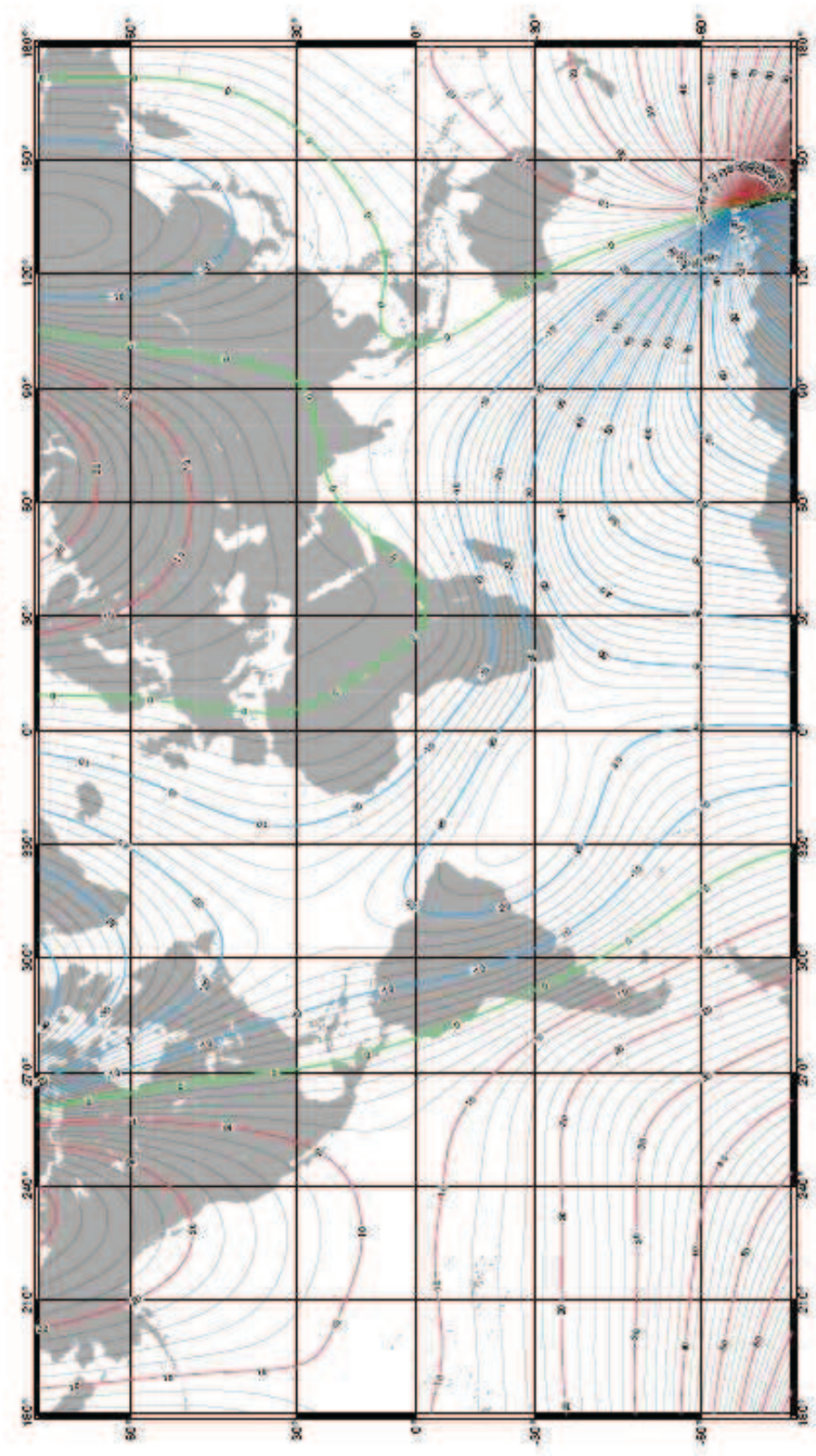
Dryf północnego biegu magnetycznego

Deklinacja magnetyczna

- Deklinacja magnetyczna to kąt pomiędzy rzeczywistym kierunkiem N na wskazaniach kompasu magnetycznego
- Deklinacja jest zmienna w czasie. Jej wartość oraz tempo zmian podają mapy nawigacyjne na dany rok
- Deklinację magnetyczną liczy się od rzeczywistego (geograficznego) południka na wschód i zachód, od 0 do 180° . Wartość deklinacji jest dodatnia lub ujemna.
- Dodatnia (E) jest wtedy gdy południk magnetyczny jest odchylony od południka rzeczywistego w prawo, na wschód.
- Ujemna (W) wartość deklinacji jest wtedy gdy południk magnetyczny jest odchylony od południka rzeczywistego w lewo, na zachód.

Deklinacja magnetyczna

US/UK World Magnetic Model -- Epoch 2005.0
Main Field Declination (D)

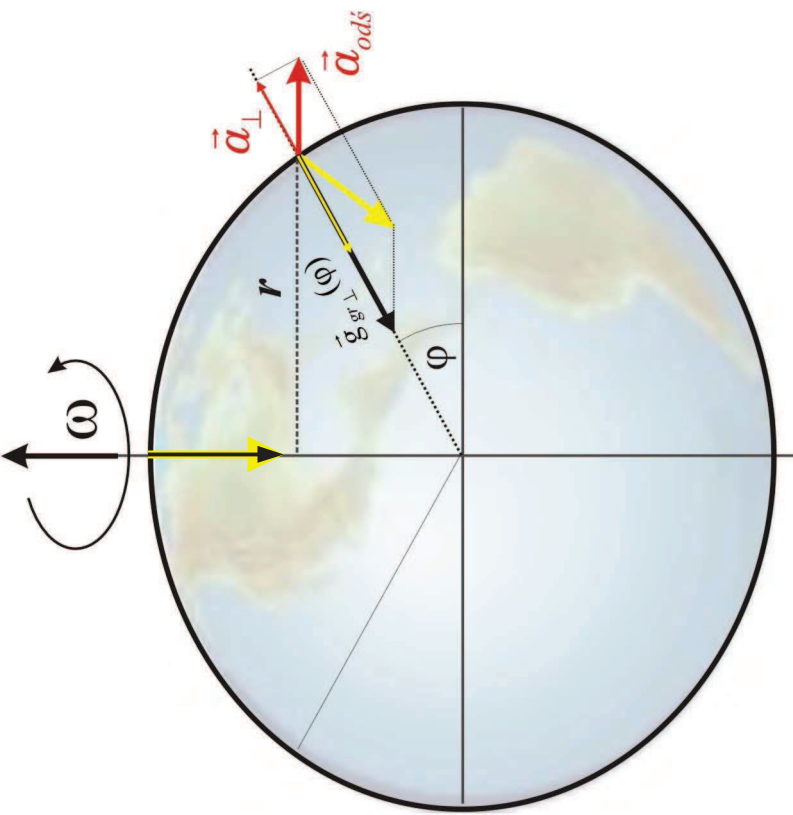


Rozkład prędkości g na powierzchni Ziemi

$$\vec{a}_{odś} = \omega^2 \vec{r}$$

składowa odśrodkowa

$$\vec{g}_g = \vec{g}_{gr} - \vec{g}_{odś}$$



$$|\vec{a}(\varphi)| = \frac{4\pi^2 R_\odot}{T^2} \cos \varphi$$

$$a_\perp(\varphi) = \frac{4\pi^2 R_\odot}{T^2} \cos^2 \varphi = \frac{4\pi^2 R_\odot}{T^2} (1 - \sin^2 \varphi)$$

$$a_\perp(\varphi) = a_\perp(0^\circ) + 0.0339 \sin^2 \varphi \quad [m \cdot s^{-2}]$$

składowa grawitacyjna (niekolistość Ziemi)

$$g_{gr\perp}(\varphi) = g_0 + 0.0178 \sin^2 \varphi \quad [m \cdot s^{-2}]$$

$$\boxed{\mathbf{g}(\varphi) = 9.7805 + 0.0517 \sin^2(\varphi) \quad [\mathbf{m \cdot s^{-2}}]}$$

To są wartości średnie!
Patrz - grawimetria

równik $g = 9.780 \text{ m} \cdot \text{s}^{-2}$; Kraków $g = 9.811 \text{ m} \cdot \text{s}^{-2}$; biegun $g = 9.832 \text{ m} \cdot \text{s}^{-2}$;

Rozkład pręszenia g na powierzchni Ziemi

Wzór na pręszenie grawitacyjne pozwala wyznaczyć masę Ziemi

$$g = -G \frac{M}{R^2} \quad \text{jest ujemne bo kierunek do środka ciała}$$

$$M = g R^2 / G$$

g – pręszenie grawitacyjne (średnie na Ziemi $g=9.81\text{m/s}^2$)

R – promień ciała niebieskiego ($R_{\oplus}=6371\text{km}$)

Stońce

Massa M_{\odot} : $1.989 \cdot 10^{30}\text{kg}$

Promień R_{\odot} : $696\,000\text{ km}$
Łatwo wyliczyć, że

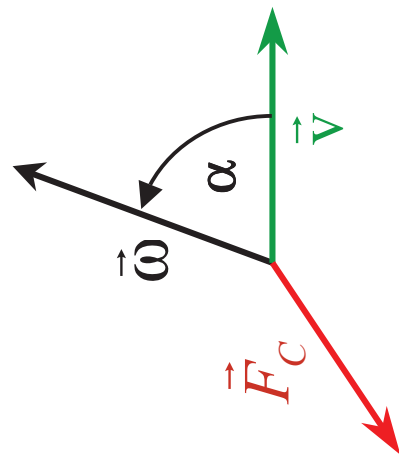
$g_{\odot} = 274\text{ m/s}^2$

$\rho_{\odot} = 1408\text{ kg/m}^3$

Siła Coriolisa

Zastosowanie zasad dynamiki Newtona w układzie obracającym się wymaga wprowadzenia pseudosił – odśrodkowej i Coriolisa

$$\vec{F}_C = 2m \vec{v} \times \vec{\omega}$$

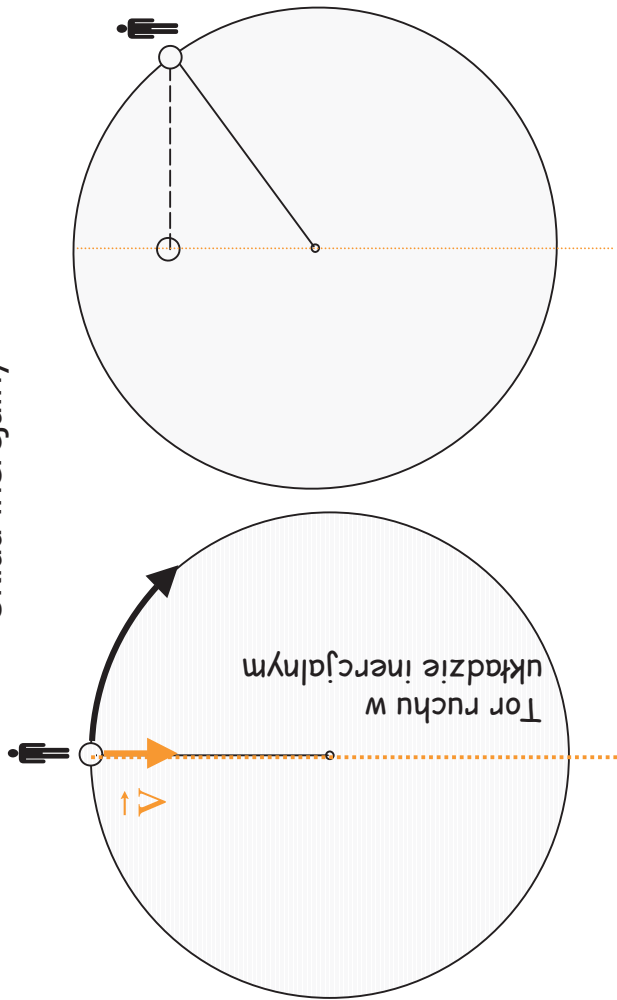


$$F_C = |\vec{F}| = 2m |\vec{v}| \omega \sin(\alpha)$$

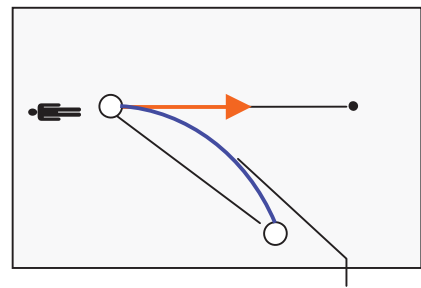
$$\vec{F}_C \perp \vec{\omega} \quad i \quad \vec{F}_C \perp \vec{v}$$

Zwrot okręśla reguła śruby prawoskrętnej

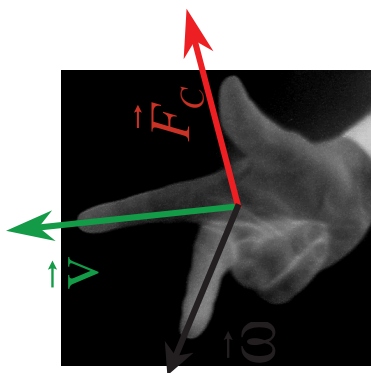
Układ inercjalny



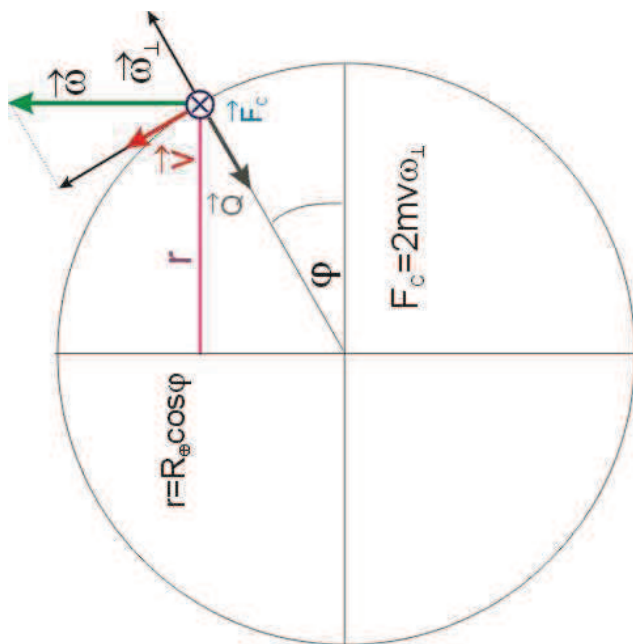
Obraz ruchu w układzie obracającym się



Tor ruchu w układzie nieinercjalnym



Siła Coriolisa



$$\vec{F}_C = 2m \vec{v} \times \vec{\omega}$$

Uwaga:
na równiku $\omega_{\perp}=0$
na biegunie $\omega_{||}=0$

$$\omega_{\perp}(\varphi) = \omega_0 \sin \varphi$$

$$\omega_{||}(\varphi) = \omega_0 \cos \varphi$$

Ruch w płaszczyźnie Ziemi

składowa ω_{\perp} :

Odchylenie ruchu ciała

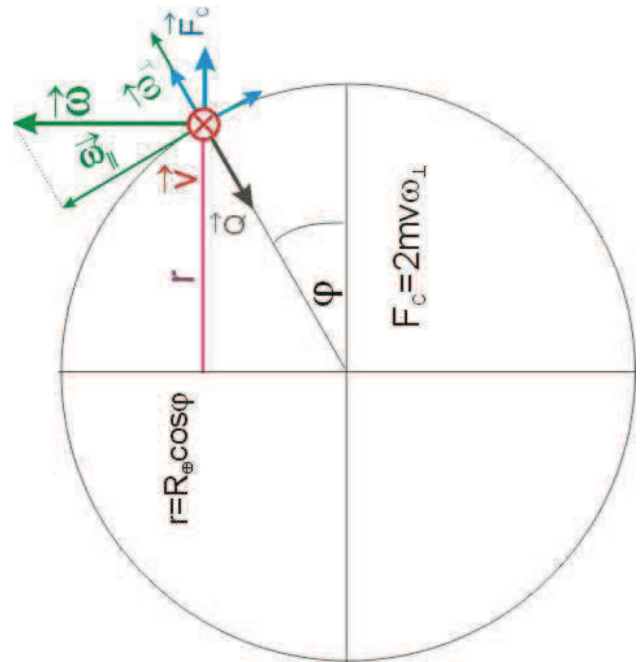
Na półkuli północnej zawsze w prawo
Na półkuli południowej zawsze w lewo

składowa $\omega_{||}$:

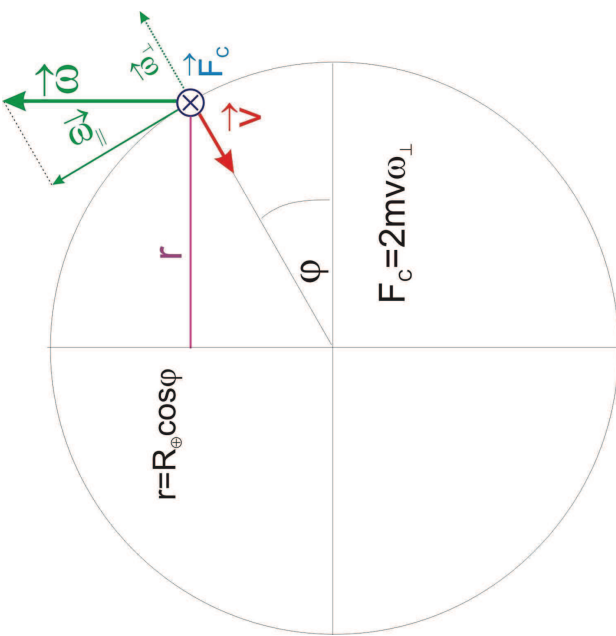
zmiana ciężaru ciała, w zależności od kierunku ruchu ciała.

Na półkuli północnej ciężar ciała poruszającego się ze wschodu na zachód jest mniejszy niż przy ruchu z zachodu na wschód.

Na półkuli południowej jest na odwrót



Siła Coriolisa



$$\vec{F}_C = 2m \vec{v} \times \vec{\omega} \quad \omega_{\parallel}(\varphi) = \omega_0 \cos \varphi$$

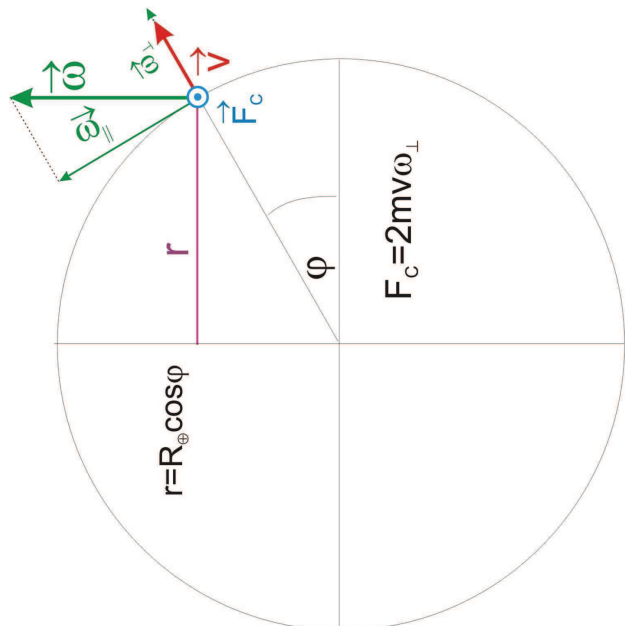
Ruch w kierunku prostopadłym do Ziemi
składowa $\omega_{\parallel}=0$

składowa ω_{\parallel} :

Na półkuli północnej

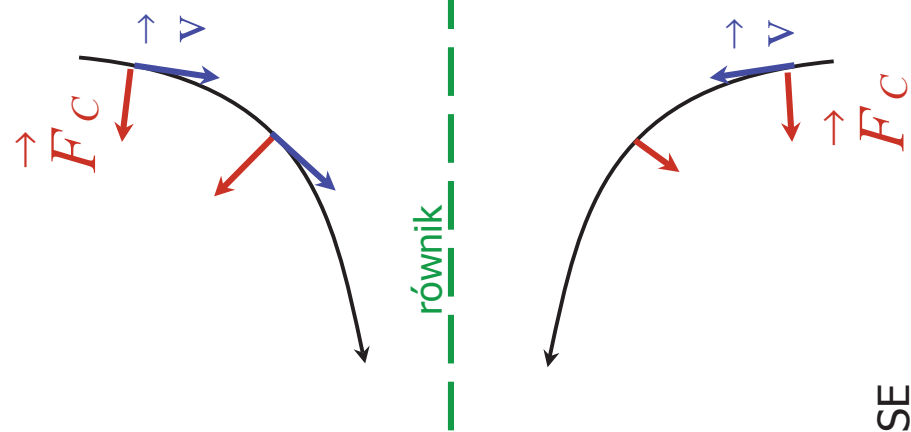
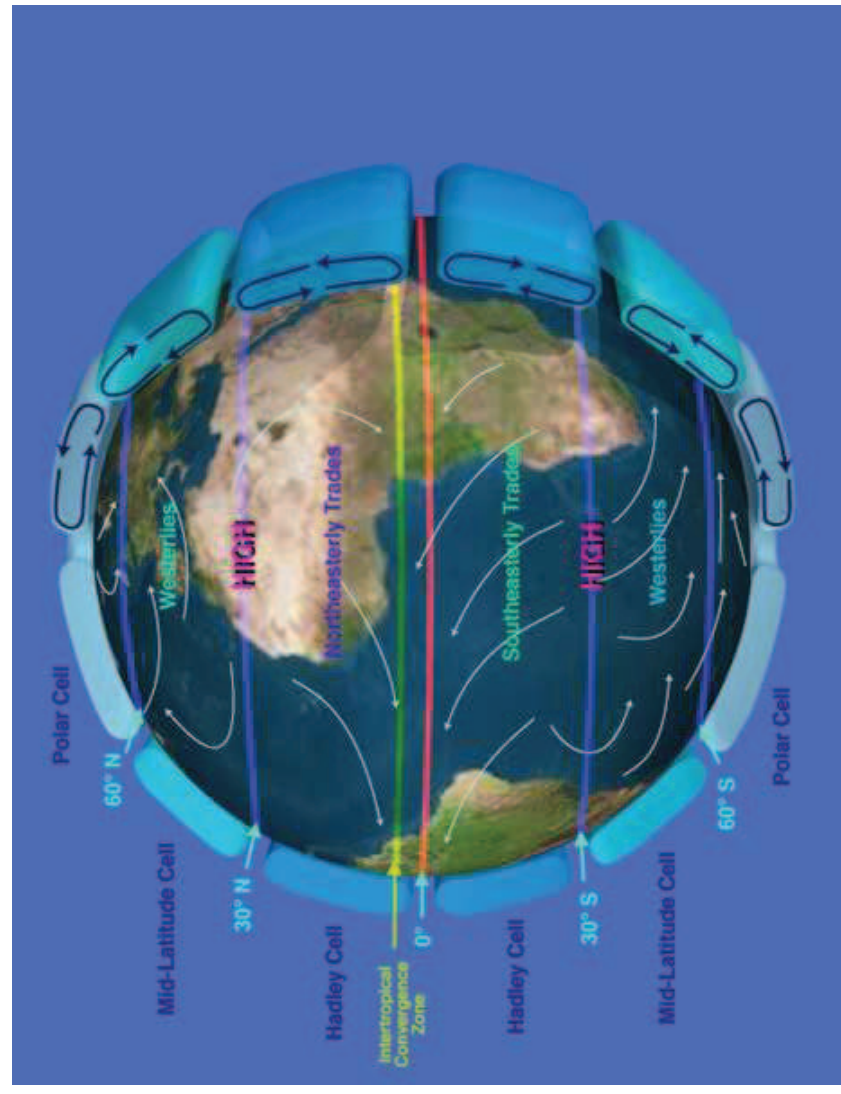
Jeśli ciało spada odchylane jest na wschód
Jeśli się wznosi to odchylane jest na zachód

Na półkuli południowej jest na odwrót



Sila Coriolisa a klimatologia

PASATY

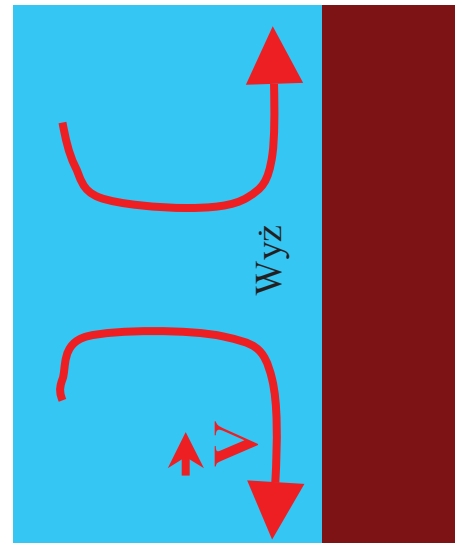
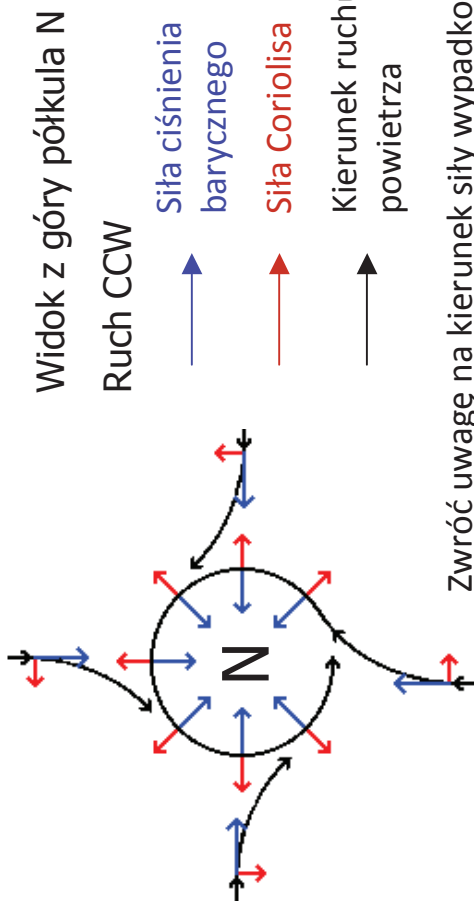
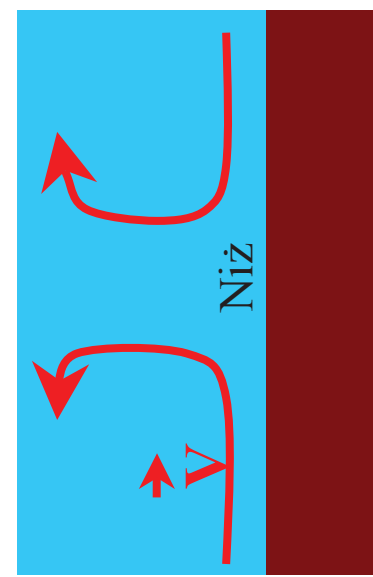


Na półkuli północnej kierunek pasatu jest NE, na południowej SE

Síta Coriolisa a klimatologia

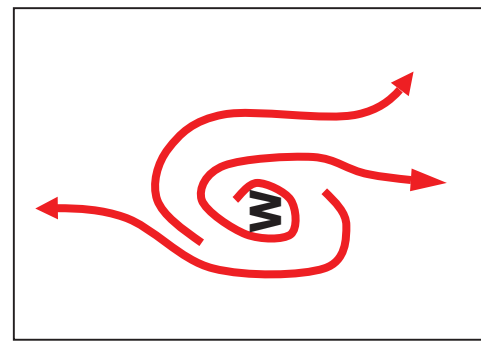


Siła Coriolisa a klimatologia



Widok z góry półkula N

Ruch CW



Na półkuli południowej jest odwrotnie!

Siła Coriolisa

Ruch w poziomie *Na półkuli północnej zawsze w prawo, na południowej w lewo*

Efekty na półkuli północnej składowa ω_{\perp} :

- Podmywanie prawych brzegów rzek (niezależnie od kierunku w jakim płyną)
- Szybsze ścieranie się prawych szyn kolejowych
- Odchylenie toru pocisków
- Ruch mas powietrza
 - ✓ W niżu barycznym powietrze kraży przeciwnie do kierunku ruchu wskaźówek zegara (CCW), a w wyżu barycznym – zgodnie z ruchem wskaźówek zegara (CW).
 - ✓ Kierunek pasatu jest NE

Efekty na półkuli północnej dla składowej $\omega_{||}$:

- zmiana ciężaru ciała, w zależności od kierunku ruchu ciała. Na półkuli północnej ciężar ciała poruszającego się ze wschodu na zachód jest mniejszy niż przy ruchu z zachodu na wschód.

Ruch w pionie

Efekty na półkuli północnej

- Jeśli ciało spada to odchylane jest na wschód, jeśli się wznosi to odchylane jest na zachód.

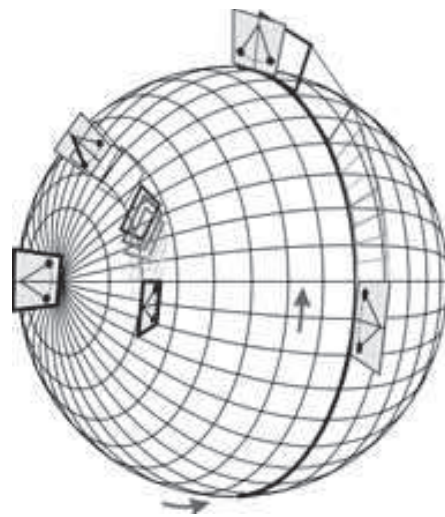
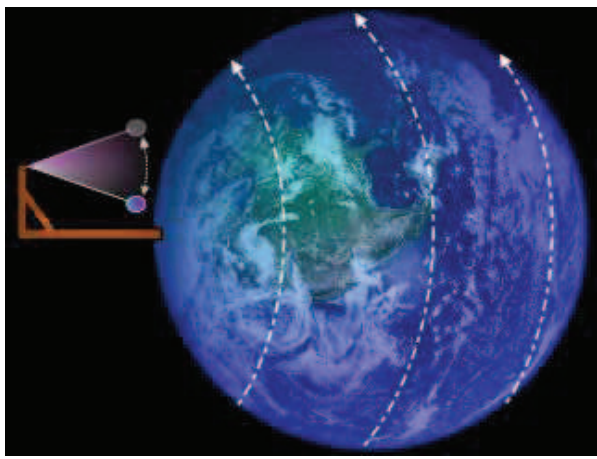
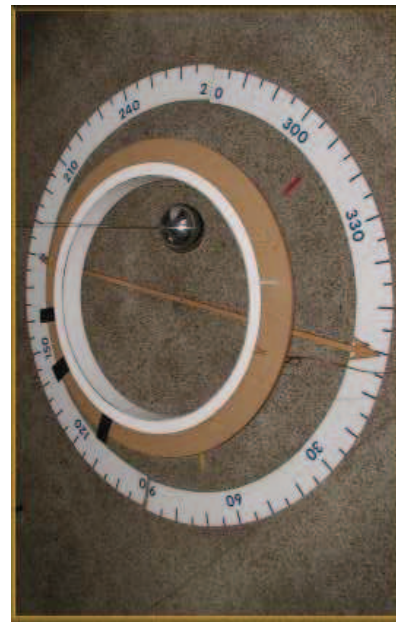
Na półkuli południowej wszystko jest odwrotnie niż na północnej!

Wahadło Foucaulta

- Na biegunie płaszczyzna wahadła jest stała w przestrzeni (zasada zachowania momentu pędu)
- Dla obserwatora związanego z wirującą Ziemią płaszczyzna wahadła będzie się pozornie skręcać o okres jej obrotu będąc równy okresowi obrotu Ziemi
- Poza biegunem płaszczyzna wahadła nie może być stała gdyż porusza się punkt zamocowania

$$\omega_{\perp}(\varphi) = \omega_{\oplus} \sin \varphi$$

$$T(\varphi) = \frac{2\pi}{\omega_{\perp}(\varphi)} = \frac{23^h 56^m}{\sin \varphi} \quad \text{w Krakowie } 31^{\circ}14' \text{m}$$



Rozdział VII

Układ Słoneczny

Prawa Keplera

Krzywe stożkowe

Jak zapewne Państwo wiedzą, powstają jako część wspólna północny stożka i płaszczyzny.

W astronomii ich analityczna reprezentacja w układzie prostokątnym jest niewygodna i używa się równania krzywej w układzie cylindrycznym.

$$r(\varphi) = \frac{p}{1 + e \cos \varphi} \quad e \text{ nazywamy mimośrodem stożkowej} \quad e = \frac{c}{a}$$

Mimośród okręśla kształt krzywej stożkowej

$e < 1$ krzywa zamknięta,
 $e \geq 1$ krzywa otwarta

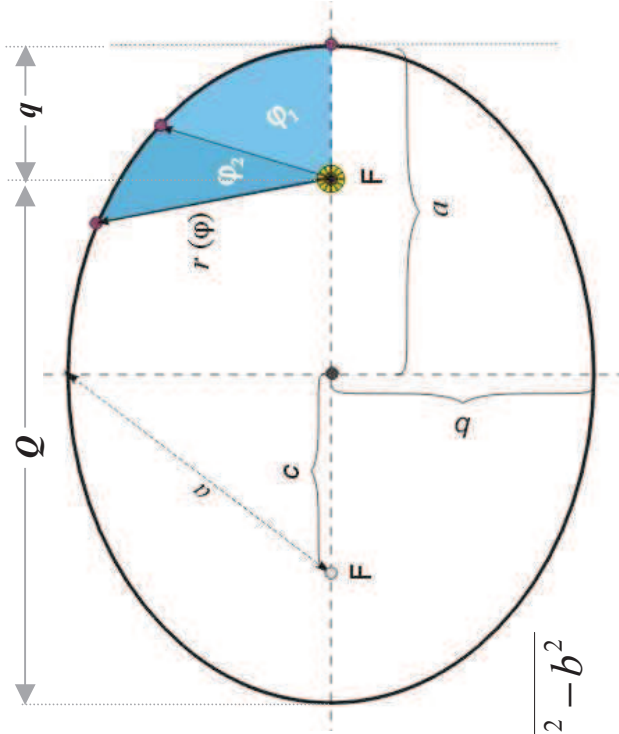
$$e = 0 - \text{okrąg}$$

$$0 < e < 1 - \text{elipsa}$$

$$e = 1 - \text{parabola}$$

$$e > 1 - \text{hiperbola}$$

$$c = \sqrt{a^2 - b^2}$$



F – ognisko elipsy, c – ogniskowa

q – długość peryhelium (perigeum, peryastron)

Q – długość aphelium (apogeum, apoastron)

- Orbita każdej planety jest elipsą, a Słońce znajduje się w jednym z jej ognisk.
(automatycznie wynika stąd, że wszystkie punkty orbity są współ płaszczyznowe)

- Promień wodzący planety w różnych odstępach czasu zakreśla równe pola.

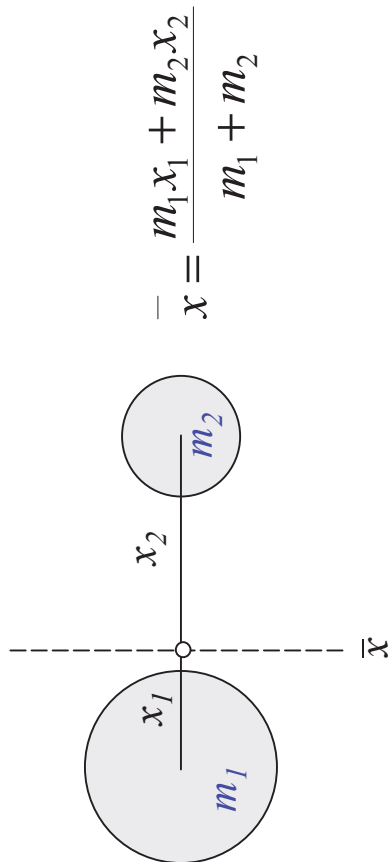
(Wynika to z zasady zachowania momentu pędu $J = mr^2 \frac{d\varphi}{dt}$)

- Stosunek kwadratów okresów obiegu dwóch planet jest równy stosunkowi sześciennów ich wielkich półosi

$$\frac{P_1^2}{P_2^2} = \frac{a_1^3}{a_2^3}, \quad m \ll M$$

$$F_g = -G \frac{mM}{R^2}, \quad m \ll M$$

Prawa Keplera uogólnione



Barycentrum - geometryczny środek masy dwóch lub więcej mas związańych siłą grawitacji.

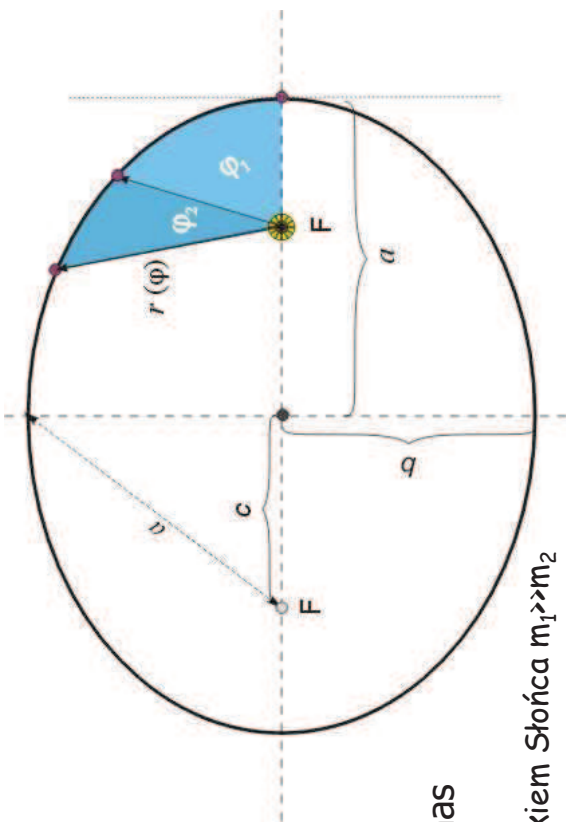
Dla Układu Słonecznego brycentrum praktycznie pokrywa się ze środkiem Słońca $m_1 \gg m_2$

1. Orbita każdej planety jest krzywą stożkową a barycentrum znajduje się w jednym z jej ognisk.
2. Promień wodzący obiektu w równych odstępach czasu zakreśla równe pola.
3. Stosunek sześciadan wielkiej półosi do kwadratu okresu obiegu jest proporcjonalny do sumy mas układu

$$\frac{a^3}{P^2} = \frac{G}{4\pi^2} (m_1 + m_2)$$

$$\frac{a^3}{P^2} \underset{\text{W Układzie Słonecznym}}{\underset{m_{\odot} \gg m_{plan.}}{\approx}} \frac{G}{4\pi^2} m_{\odot}$$

Identyczna sytuacja występuje w układzie Jowisz – księżyce Jowisza



Planety

	Symbol	Masa M	Promień równikowy R_0	Okres obrotu (w) - ruch wsteczny P_r	Nachylenie równika do płaszczyzny orbity ε	Półosi wielka a	Mimośród e	Nachylenie orbity do płaszczyzny ekliptyki i	Okres obiegu P	Księżyce (liczba)
		$[M_\oplus]$	$[R_\oplus]$			$[\text{AU}]$		$[\text{°}]$	$[\text{lat}]$	
Merkury	☿	0.0553	0.382	58.65 ^d	0°	0.3871	0.2056	7°	0.241	0
Wenus	♀	0.8150	0.949	(w) 243.01 ^d	-2°	0.7233	0.0068	3°24'	0.615	0
Ziemia	⊕	1.000	1.00	23 ^h 56 ^m 04 ^s	23.4°	1.000	0.0167	0°	1.000	1
Mars	♂	0.1074	0.533	24 ^h 37 ^m 23 ^s	25.2°	1.5237	0.0934	1°51'	1.881	2
Jowisz	♄	317.89	11.2	9 ^h 51 ^m	3.1°	5.2026	0.0479	1°18'	11.86	63
Saturn	♅	95.2	9.41	10 ^h 14 ^m	25.1°	9.5548	0.0559	2°29'	29.46	60
Uran	♂	14.56	3.98	(w) 17 ^h 24 ^m	98°	19.218	0.0477	0°46'	84.0	27
Neptun	♀	17.24	3.81	17 ^h 50 ^m	29°	30.110	0.0079	1°46'	164.8	13

Pomiędzy Marsem a Jowiszem rozciąga się pas planetoid
Za Neptunem rozciąga się pas Kuipera (najjaśniejszy obiekt pasa Kuipera to planeta kartkowata Pluton)

Pluton E ~ 0.0021 0.18 153.3^h ? 39.5 0.249 17.1° 248.5 3

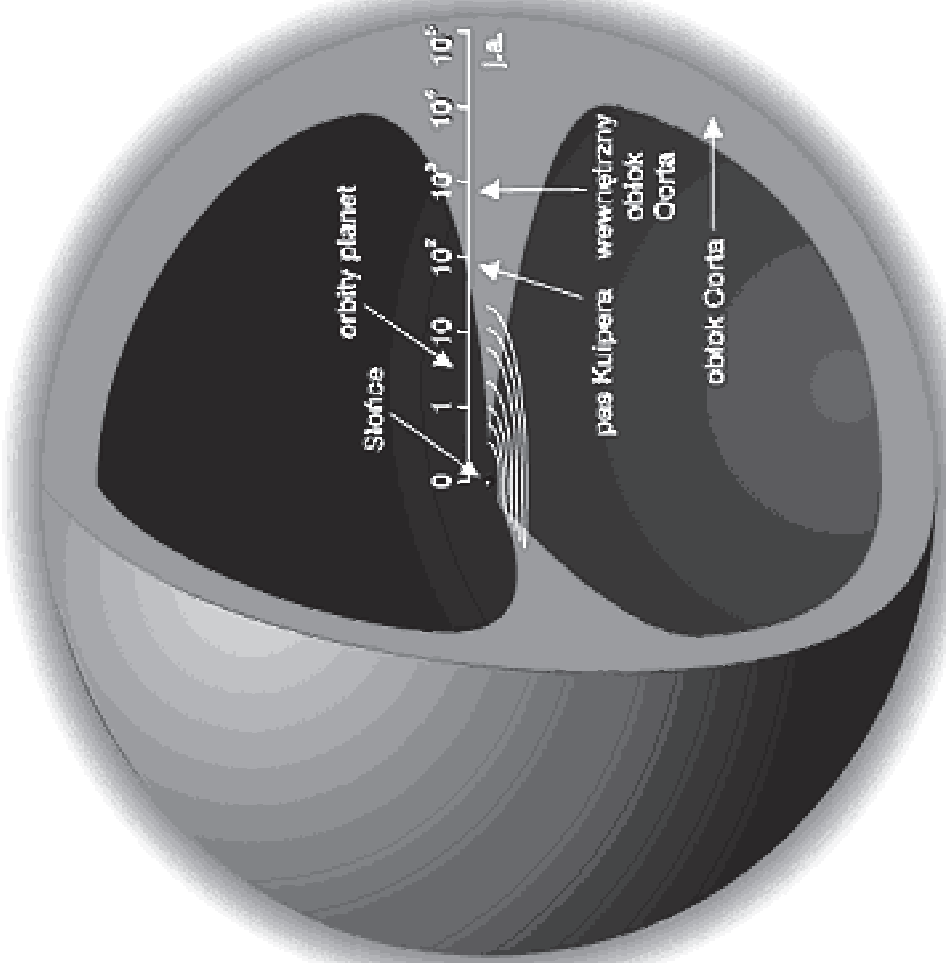
Ziemia

$M_\oplus = 5.974 \cdot 10^{24} \text{ kg}$
 $R_\oplus = 6371 \text{ km}$
 $\rho_\oplus = 5520 \text{ kg/m}^3$
 $AU = 149.6 \cdot 10^6 \text{ km}$
 $\varepsilon_\oplus = 23^\circ 26'$

Śląńce

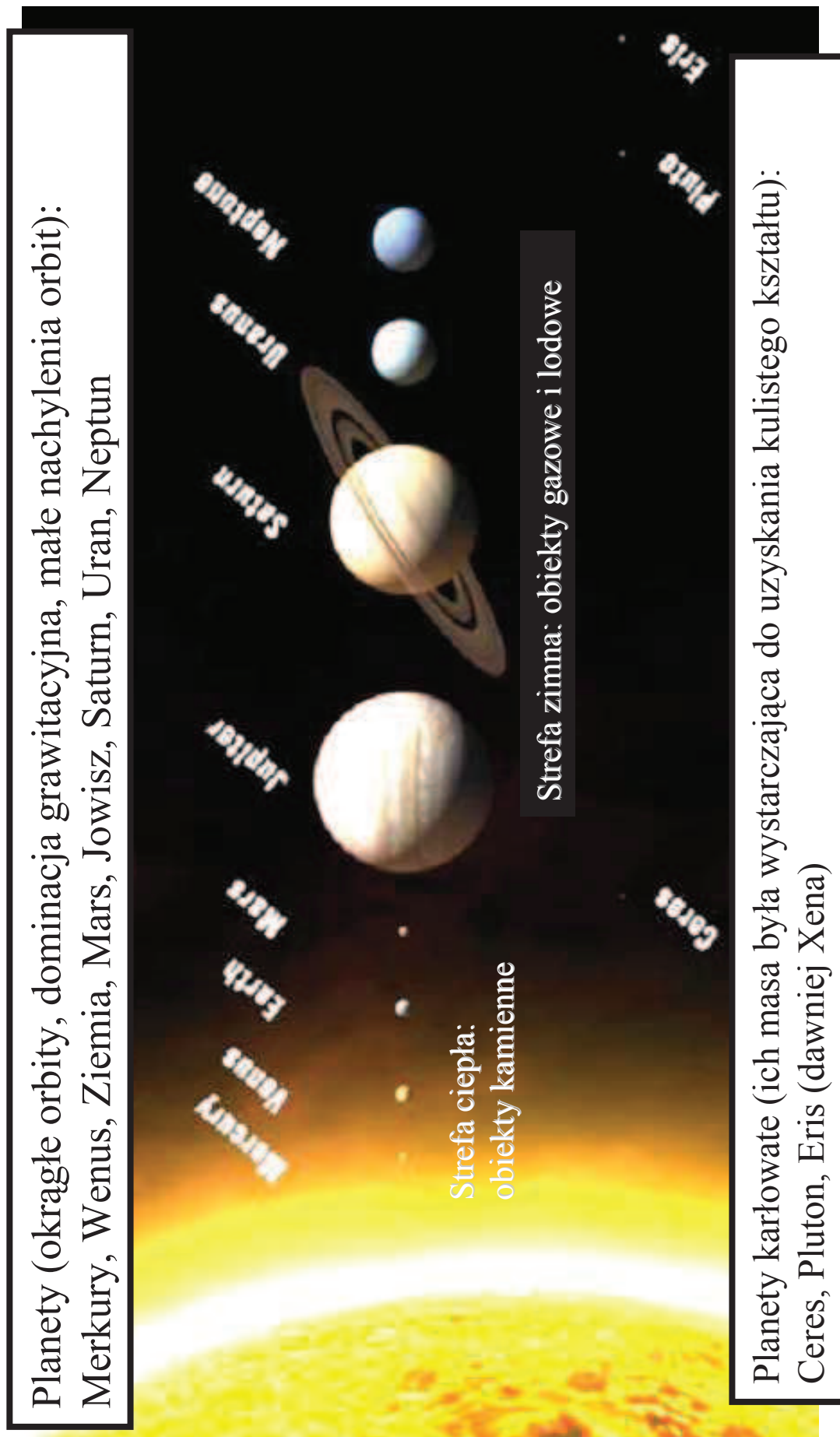
Masa M_\odot : $1.989 \cdot 10^{30} \text{ kg} = 332\,946 M_\oplus$
Promień R_\odot : $696\,000 \text{ km} = 109.12 R_\oplus$
 $\rho_\odot = 1410 \text{ kg/m}^3$
Średnia średnica kątowa: $32'$
Okres obrotu na równiku : 25.38 d
 $\varepsilon_\odot = 7^\circ 12' \text{ (Nachylenie równika słończnego do płaszczyzny ekliptyki)}$

Elementy składowe Układu Słonecznego



Układ Słoneczny dziś

Planety (okrągłe orbity, dominacja grawitacyjna, małe nachylenia orbit):
Merkury, Wenus, Ziemia, Mars, Jowisz, Saturn, Uran, Neptun



Planety karłowate (ich masa była wystarczająca do uzyskania kulistego kształtu):
Ceres, Pluton, Eris (dawniej Xena)

Obiekty pasa Kuipera



Galileuszowe Księżyce Jowisza

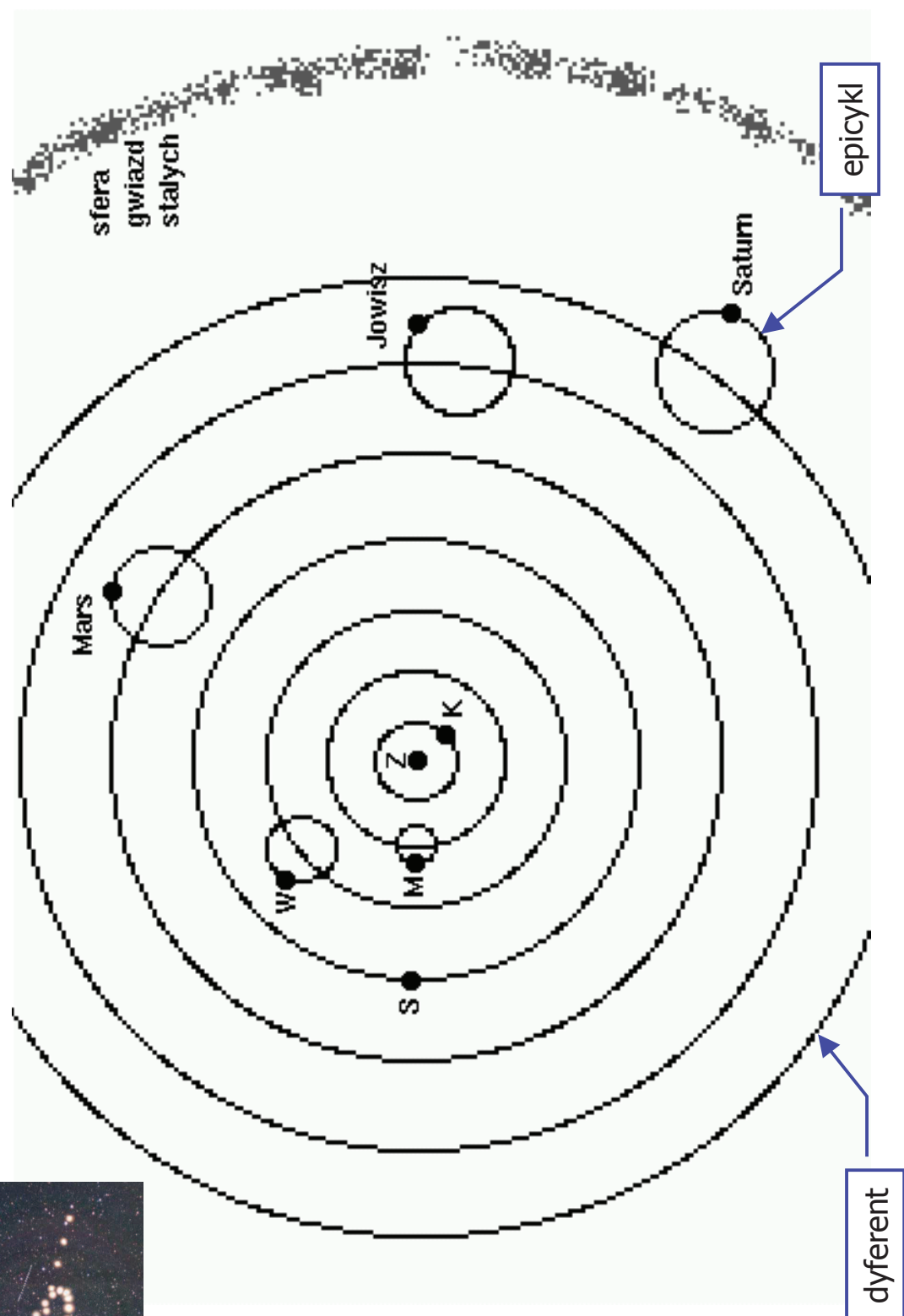
Cztery największe księżyce Jowisza, odkryte przez Galileusza 7 stycznia 1610 za pomocą skonstruowanej przez siebie lunety.

Na podstawie swoich obserwacji Galileusz uznał, że księżyce krążą wokół Jowisza. Odkrycie to wspariało heliocentryczną teorię Kopernika, pokazując że nie wszystkie ciała niebieskie krążą wokół Ziemi.

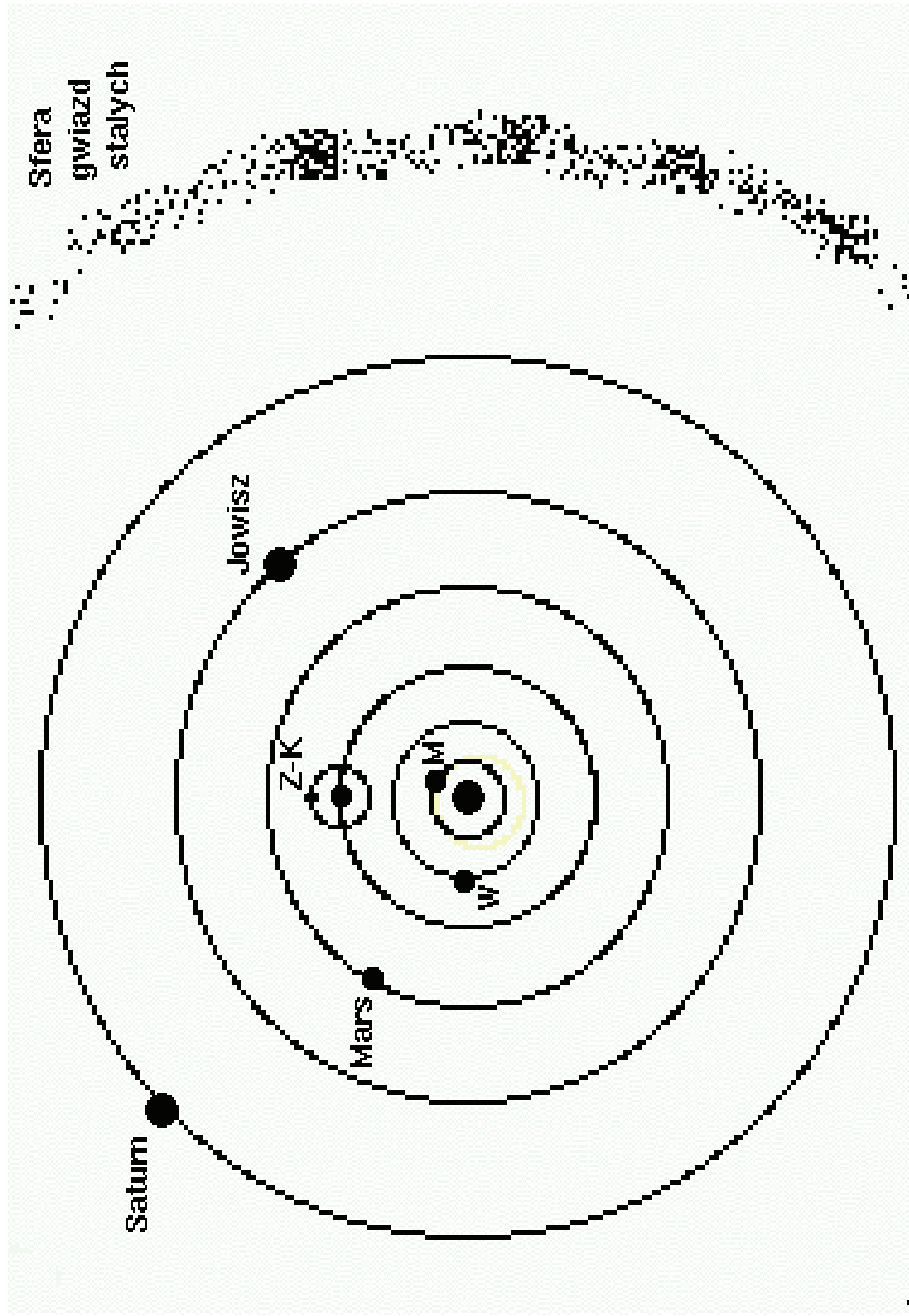
Księżyce noszą nazwy (w kolejności od planety): Io, Europa, Ganimedes i Kallisto. Ich orbity są prawie kołowe o mimośrodzie $e < 0,007$

	Nazwa	Jasność widoma [mag]	Średnica [km]	Półosi wielka [tys. km]	Okres obiegu [d]	Mimośród orbity	Nachylenie orbity do płaszczyzny orbity Jowisza [°]
I	<u>Io</u>	5,0	3 643	421,8	1,77	0,0041	0,036
II	Europa	5,3	3 122	671,1	3,55	0,0094	0,467
III	Ganimedes	4,6	5 262	1 070,4	7,16	0,001	0,172
IV	Kallisto	5,7	4 821	1 882,7	16,69	0,007	0,307

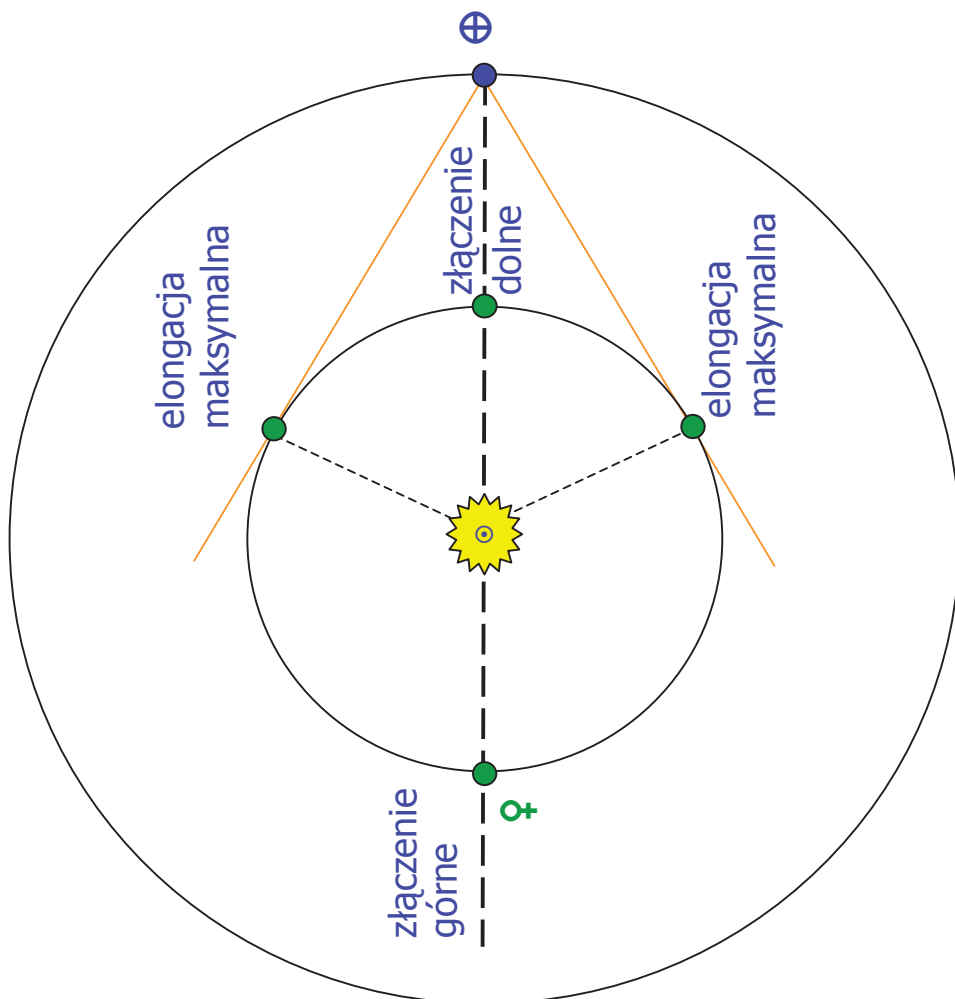
Układ Słoneczny wg. Ptolemeusza



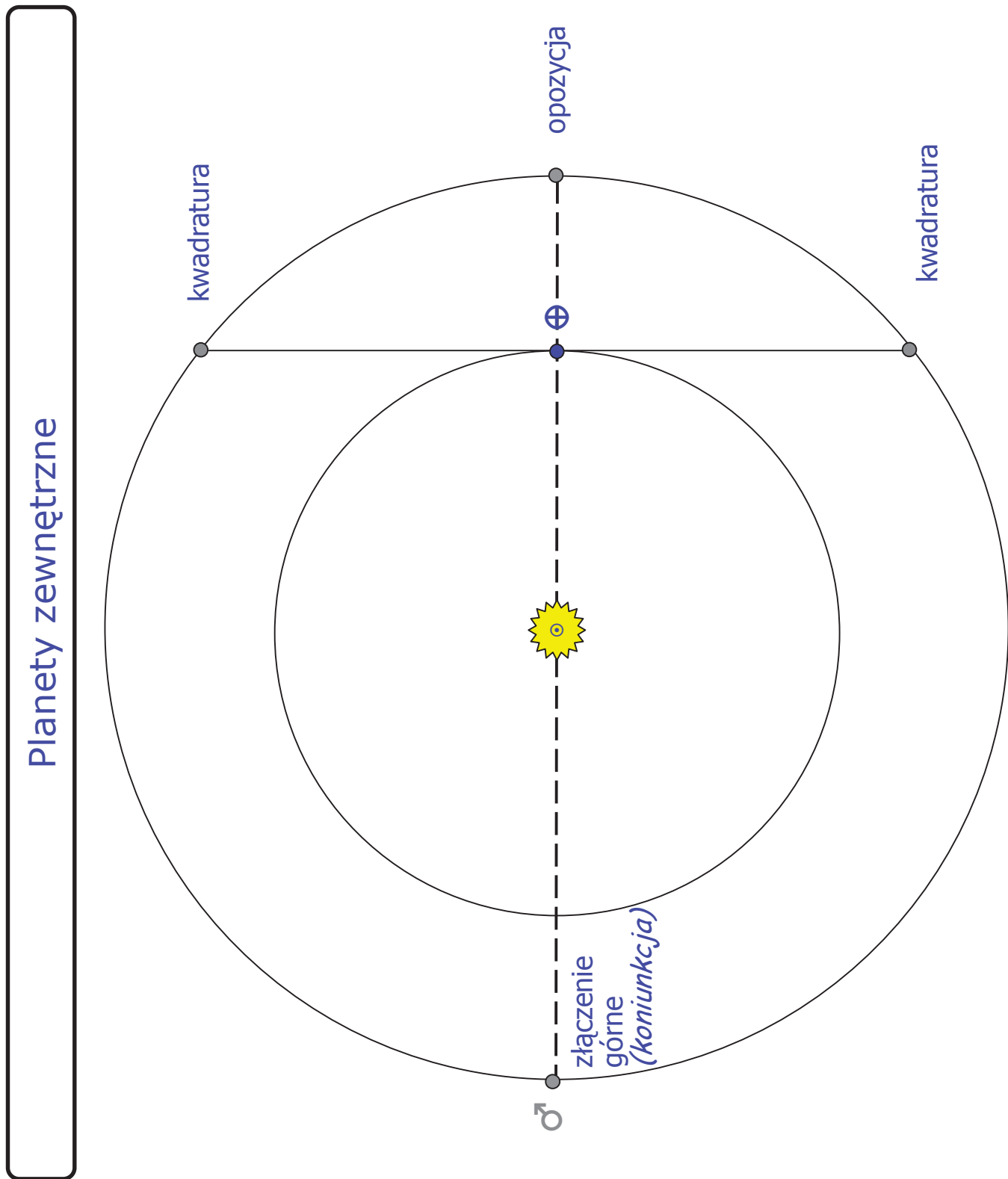
Układ Słoneczny wg. Kopernika



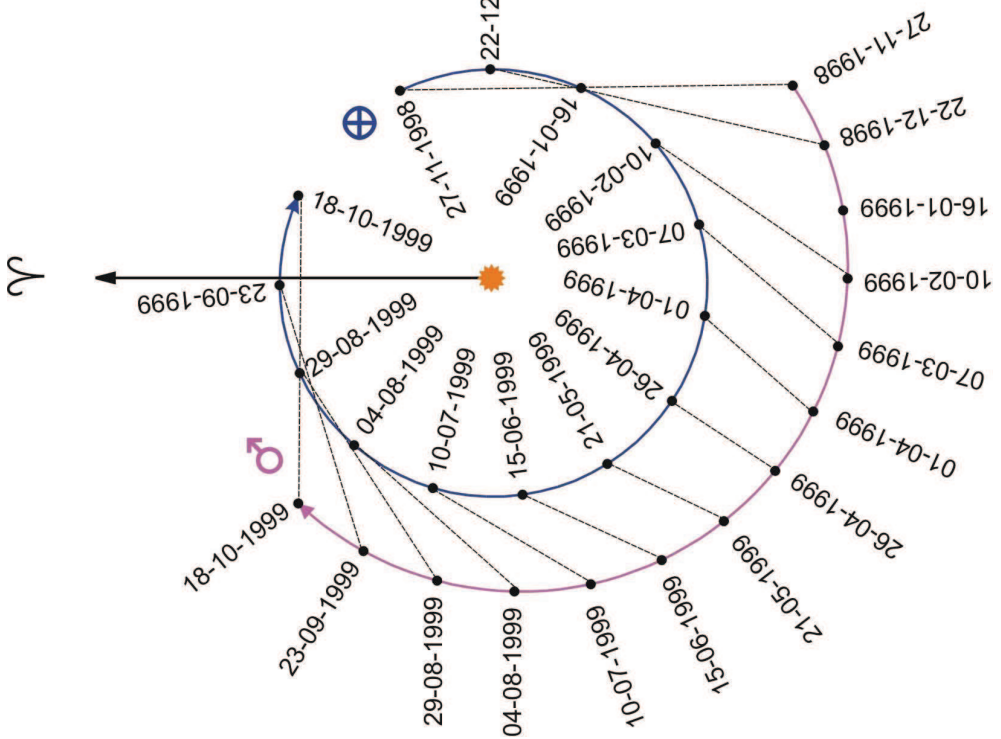
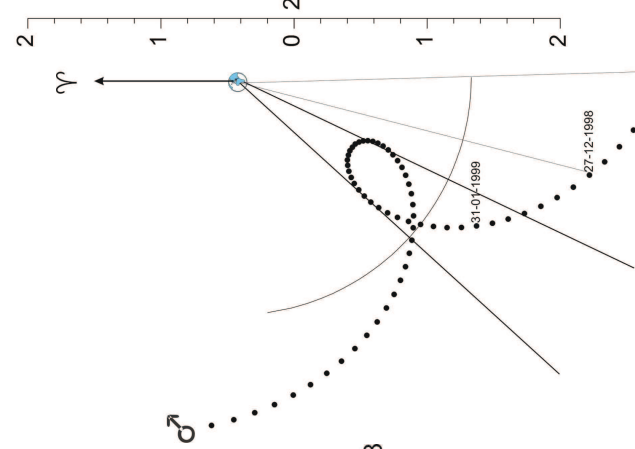
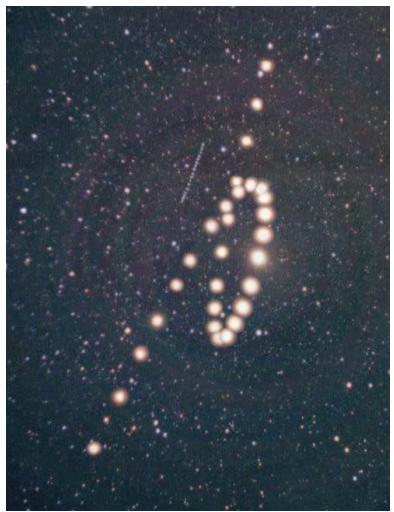
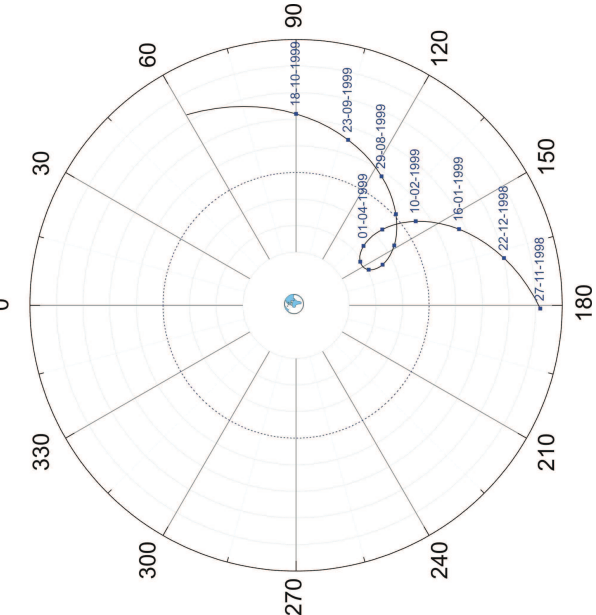
Planety wewnętrzne



Planety wewnętrzne są widoczne krótko przed wschodem Słońca lub krótko po zachodzie Słońca.
Wynika też stąd, że widoczne są nisko nad horyzontem!



Pętle planet



Księżyć



Księżyca

- Promień: 1738 km $R_J = 0.27 R_\oplus$ (promienia Ziemi)
- Masa: $7 \cdot 35 \cdot 10^{22}$ kg $M_J = 1/81 M_\oplus$ (masy Ziemi)
- Orbita: $e = 0.055$, $a = 384.4 \times 10^3$ km ≈ 0.0026 AU $\approx 60R_\oplus$,
 $i = 5.1^\circ$ (nachylenie płaszczyzny orbity do ekleptyki)
- Średnia średnica kątowa = $31'05''$ (*max 33'31'', min 29'22''*)
- Okres obiegu (miesiąc gwiazdowy): 27.322 d. Okres rotaacji: 27.322 d (**synchroniczność!**)
- Miesiąc synodyczny (księżycka doba słoneczna) 29.5306 d
- Nachylenie równika Księżyca do ekleptyki: $1^\circ 32'40'' = 1.5424^\circ$
- Temperatura na półkuli: dziennej 380 K nocnej: 190 K



Strona widoczna

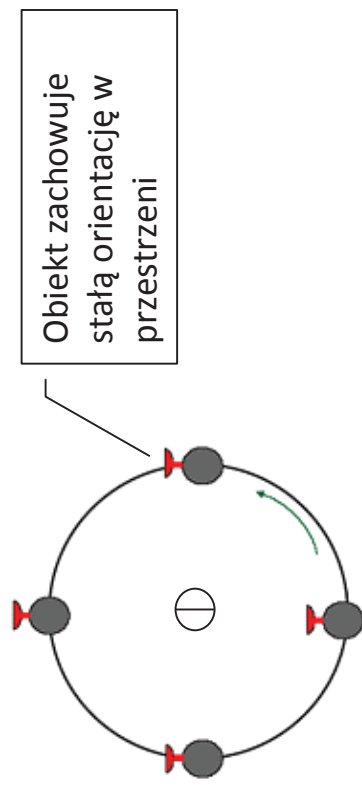
Strona niewidoczna

Księżyca

Okres obiegu: 27.322^d . Okres rotacji: 27.322^d

Tak zwany rezonans 1:1 - na jeden obieg Księżyca dookoła Ziemi przypada jeden jego obrót wokół własnej osi.

Brak rotacji, tylko ruch obiegowy

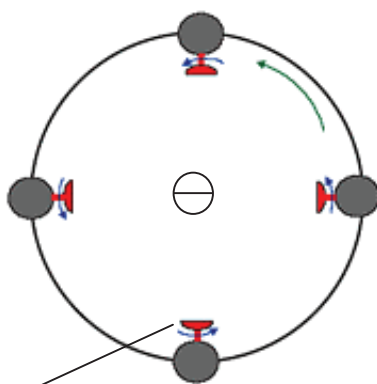


Obiekt zachowuje stałą
orientację w przestrzeni

- Zwrócić uwagę na to, że Ziemia z Księżyca widoczna jest zawsze w tym samym miejscu na niebie (albo wcale nie jest widoczna, gdy obserwator znajduje się na jego odwróconej stronie). Linia, która oddziela oświetloną i ciemną część tarczy Księżyca nazywana jest terminatorem.
- Obserwator znajdujący się na terminatorze widzi wschód i zachód Słońca.
- Doba słoneczna trwa 29.5 dnia a więc od wschodu do zachodu Słońca mijają prawie dwa tygodnie.

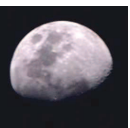


Rotacja synchroniczna z obiegiem



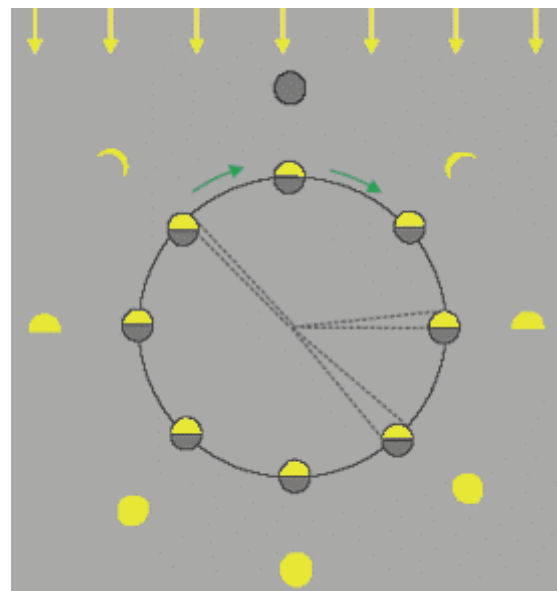
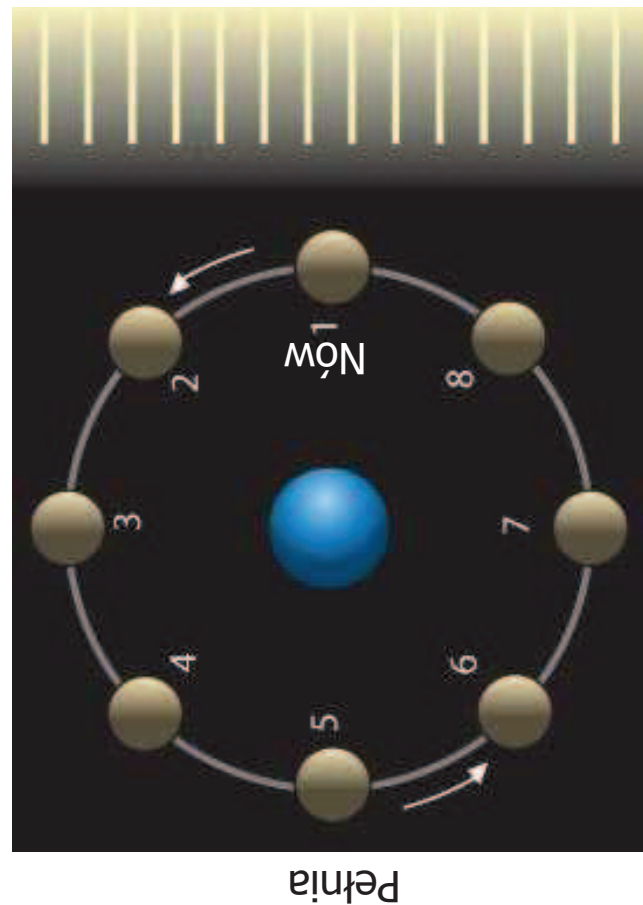
Obiekt zachowuje stałą
orientację względem
środka orbity





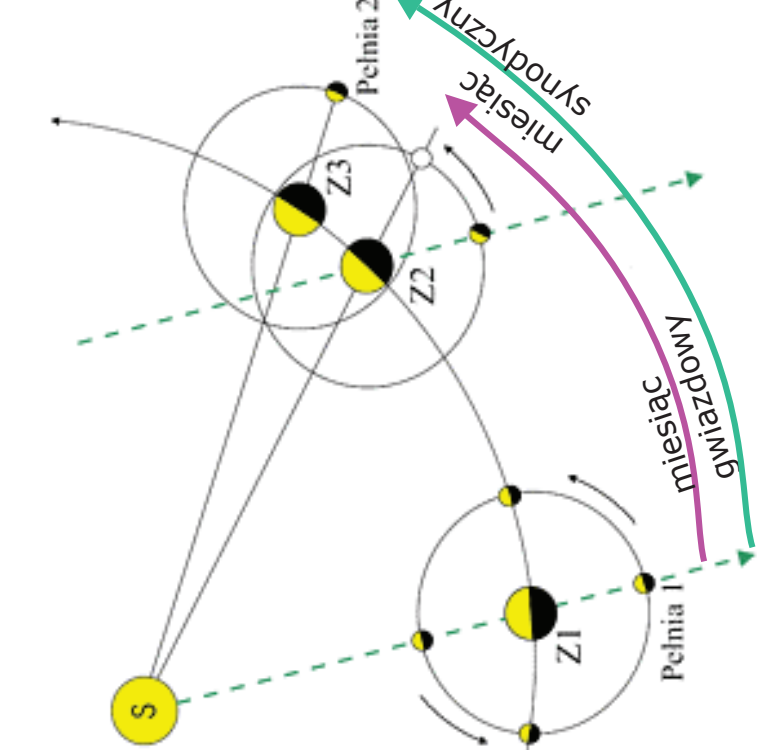
Fazy Księżyca

- Widać tylko część oświetloną przez Słońce
- Okres zmian faz to miesiąc synodyczny (około 29.53 dnia)
- Księżyca widać zawsze z tej samej strony bo okres obrotu Księżyca jest równy okresowi obiegu
- Czasem tuż po nowiu widać część Księżyca oświetloną przez Ziemię (światło popielate)



Uwaga rysunki nie w skali bo odległość Ziemia-Księżyca to 60 promieni Ziemi

Miesiąc synodyczny i gwiazdowy



Okręsy gwiazdowe: powtórzenie się zjawiska względem gwiazd stałych.

Okręsy synodyczne: względem obserwatora na Ziemi.

Ziemia ma okres obiegu wokół Słońca równy $T_z = 1$ rok, czyli jej prędkość kątowa orbitalna $\omega_z = 2\pi/T_z$.

Obiekt (Księżyc, planeta ...) ma okres gwiazdowy inaczej syderyczny T_o , Czyli $\omega_o = 2\pi/T_o$.

Zgodnie z prawem dodawania prędkości, prędkość kątowa obiektu O względem Ziemi (synodyczna) $\underline{\omega} = \omega_o - \omega_z$. Okres synodyczny P_o wyliczamy ze wzoru $2\pi/P_o = |2\pi/T_o - 2\pi/T_z|$ czyli :

$$1/P_o = |1/T_o - 1/T_z|$$

Księżyca

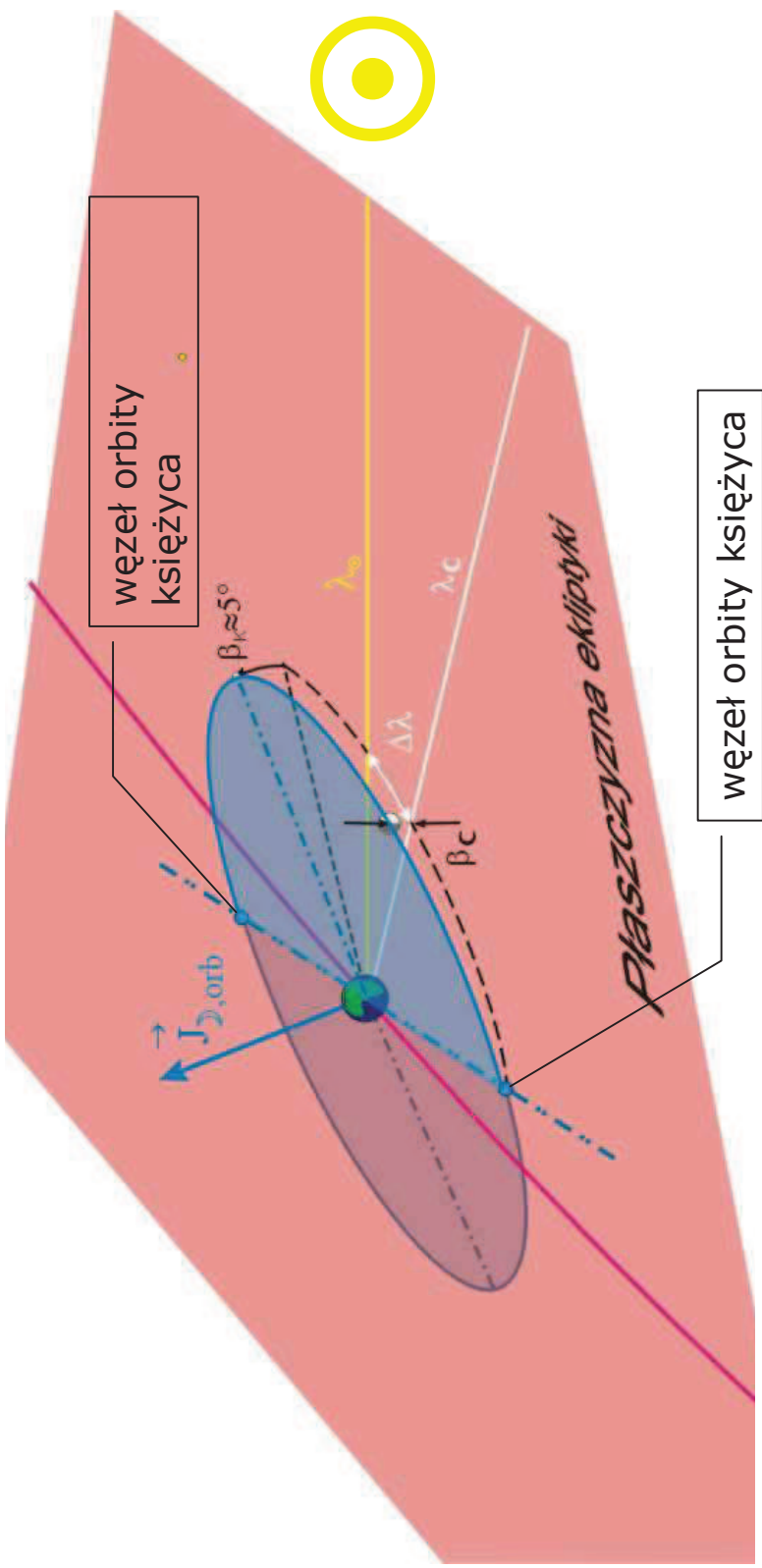
1 miesiąc gwiazdowy (okres obrotu) $27^d7^h43^m3^s$

1 miesiąc synodyczny (od pełni do pełni) $29^d12^h44^m3^s$

Ziemia: doba gwiazdowa 23^h56^m (okres obrotu)
doba słoneczna (od południa do południa) 24^h

Księżyca położenie orbity w przestrzeni

węzły orbity: punkty przecięcia się orbity z płaszczyzną eklipytki



Wskutek precesji orbity księżyca węzły wędrują po eklipytkie z okresem 18.6 lat

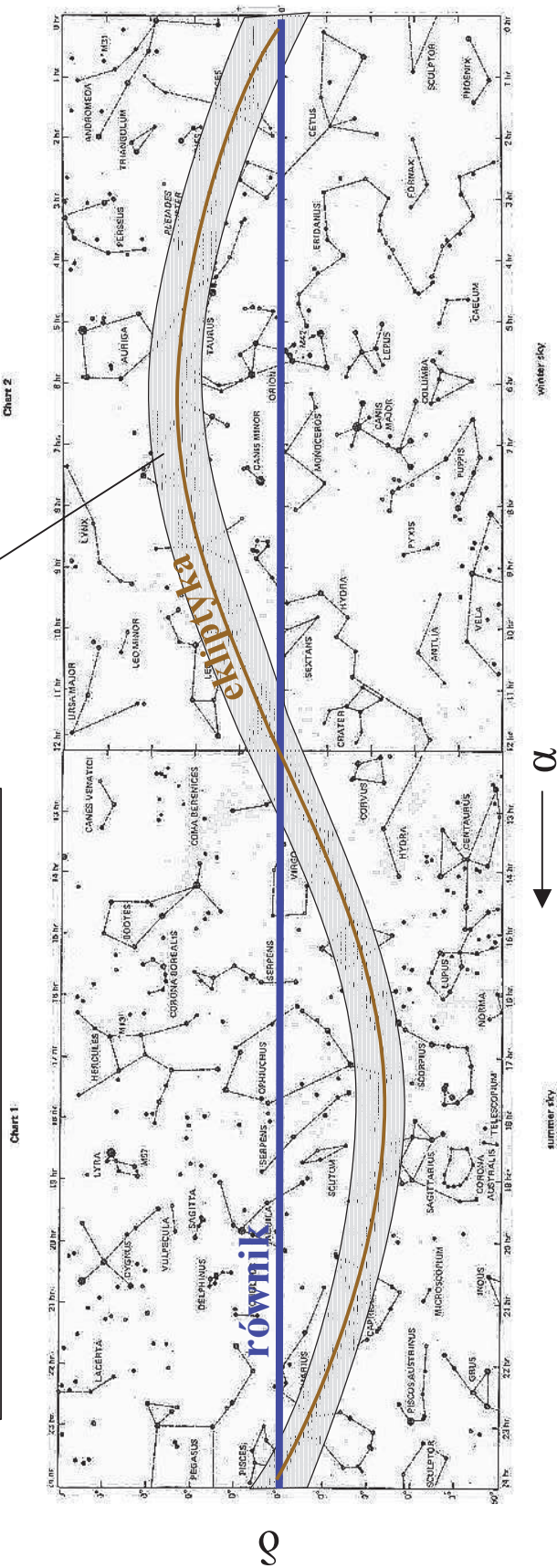
Odstęp czasu pomiędzy przejściami Księżyca przez ten sam węzeł:
miesiąc smoczy: $27^{\text{d}} 5^{\text{h}} 36^{\text{s}} = 27.2122^{\text{d}}$

Deklinacja Księżyca może się różnić od deklinacji Słońca o co najwyżej o 5.1°

$$\delta_{\odot} - 5.1^\circ \leq \delta_{\text{J}} \leq \delta_{\odot} + 5.1^\circ$$

Położenie Księżyca na niebie

w tym pasie o szerokości $2 \times 5.1^\circ$
może być Księżyca

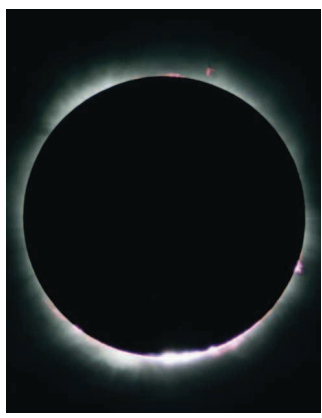


$$\delta_{\odot} - 5.1^\circ \leq \delta_J \leq \delta_{\odot} + 5.1^\circ$$

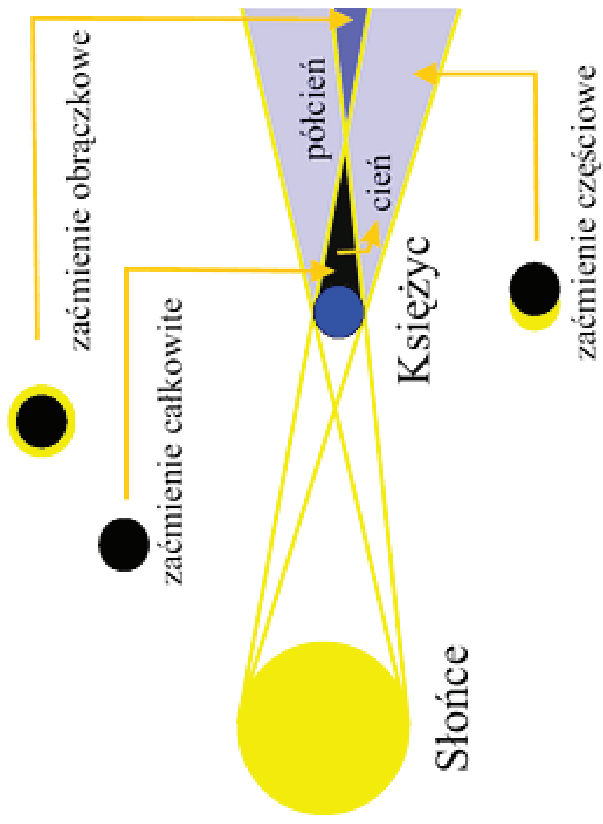
- Księżyca obiega całą ekliptykę w ciągu 1 miesiąca gwiazdowego ($27^{\text{d}} 7^{\text{h}} 43^{\text{m}} 3^{\text{s}}$)
- Przecięcie się toru Księżyca z ekliptyką to węzły orbity Księżyca
- Węzły się cofają dlatego miesiąc smoczy ($27^{\text{d}} 5^{\text{h}} 36^{\text{s}}$) jest krótszy niż gwiazdowy

ZAĆMIENIA

Zaćmienia Słońca i Księżyca

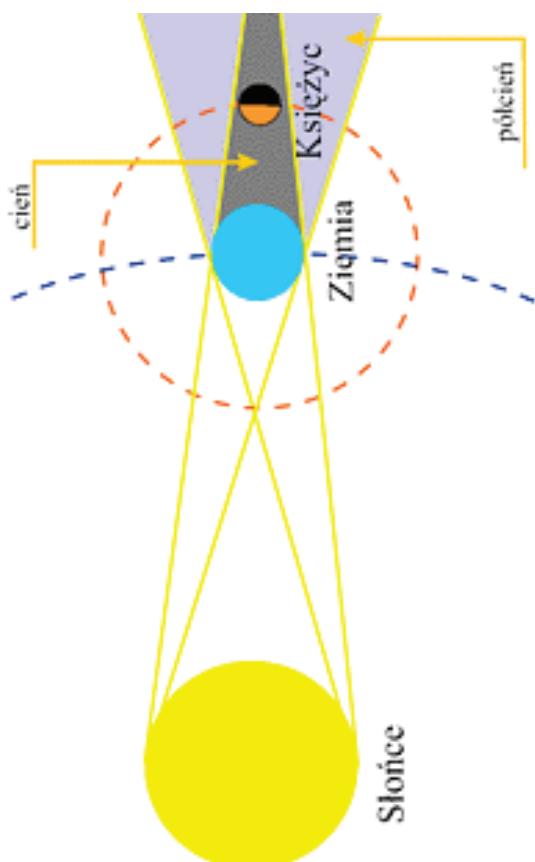


Całkowite zaćmienie Słońca



zaćmienie całkowite
zaćmienie obrączkowe

Całkowite zaćmienie Słońca korona słoneczna

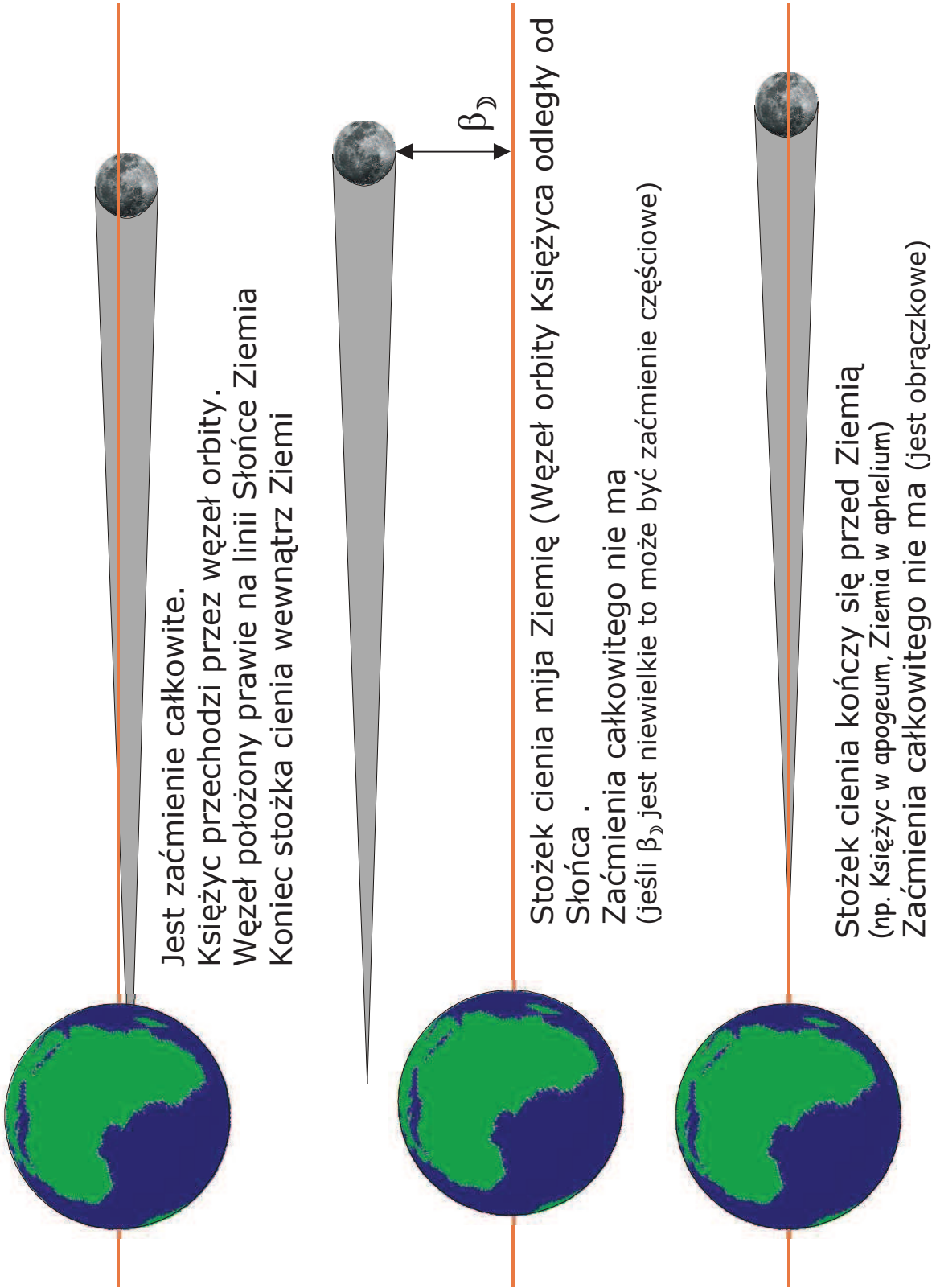


Obrączkowe zaćmienie Słońca

($29'22'' < \Phi < 33'31''$)



Zaćmienia a orbity Księżyca i Ziemi



Powtarzalność zaćmień

Warunki zaistnienia zaćmienia Słońca

- Księżyca musi być w nowiu - okres: miesiąc synodyczny ($29^d 12^h 44^m 3^s = 29.5306^d$)
 - Księżyca musi być blisko węzła: okres miesiąc smoczy $27^d 5^h 5^m 36^s = 27.2122^d$
 - Słońce musi być blisko węzła orbity Księżyca.
- Wskutek precesji orbity księżyca węzły wędrują po ekliptyce z okresem 18.6 lat, stąd okres pomiędzy kolejnymi przejściami Słońca przez ten sam węzeł orbity Księżyca wynosi 346.62 dni (jest to tzw. rok zaćmieniowy)

242 miesiące smocze to 223 miesiące synodyczne i niemal dokładnie 19 lat zaćmieniowych.
(Dokładnie to odpowiednio 6585.32, 6585.36 i 6585.78 dni).

Jest to tzw. **saros** 18 lat i 11 dni (10 dni gdy jest 5 lat przeszępnych).

Już w starożytności Babilończycy odkryli prawidłowości rządzące zaćmieniami. Przez nich właśnie cykl zaćmień nazwany został sarosem (w jęz. asyryjskim szāru).

Uwaga zaćmienia mogą należeć do różnych sarosów!

Jednocześnie biegnie obok siebie wiele cykli sarosów.

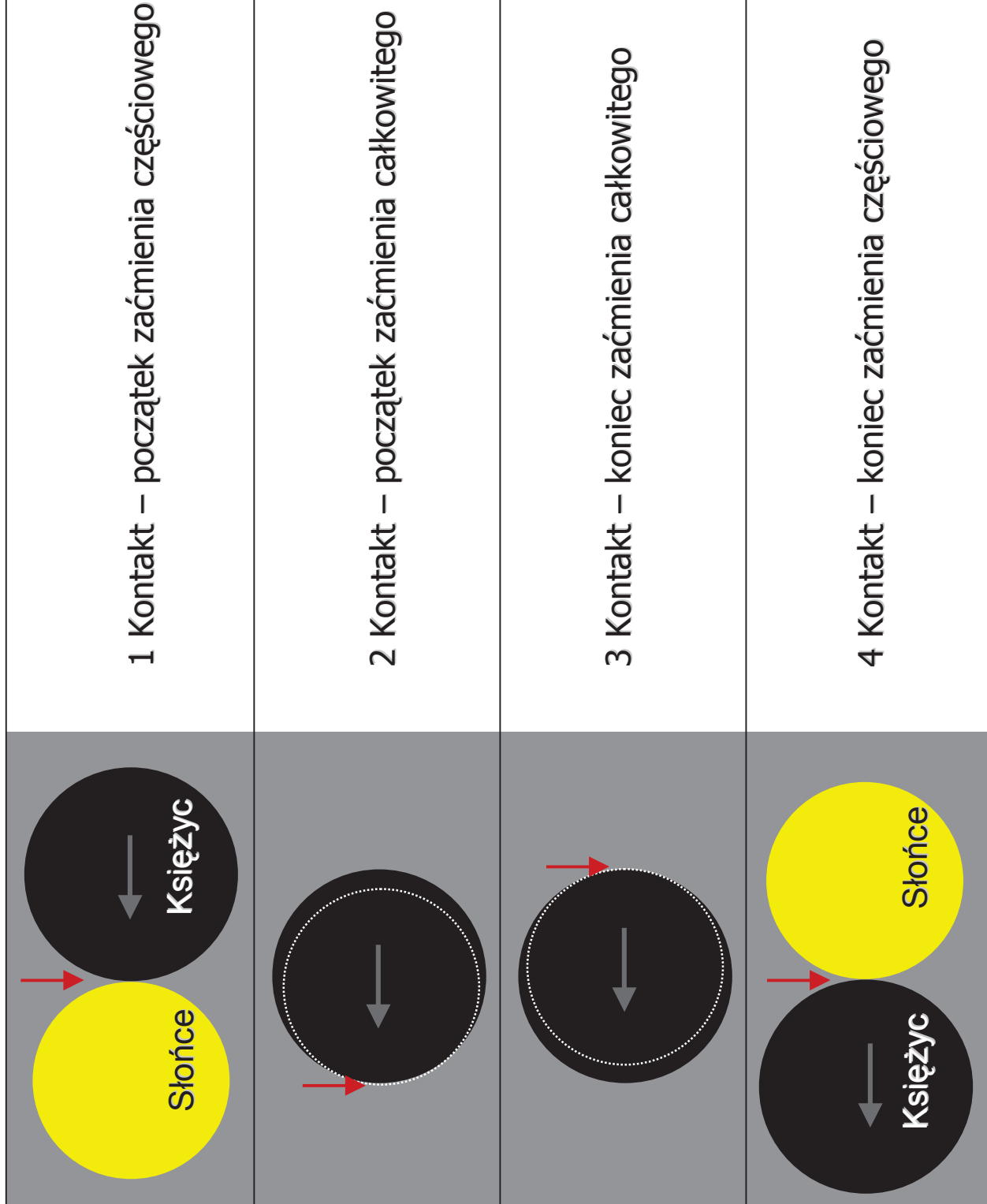
Uwaga, zależność nie jest ścisła, więc zaćmienia należące do tego samego sarosu są podobne a nie identyczne. Niewielka zmiana położenia Słońca i Księżyca po każdym sarosie sprawia, że cały cykl zaćmień kończy się po ok. 71 zaćmieniach Słońca i 48 Księżyca.

Każdy cykl saros rozpoczyna się zaćmieniem częstcowym o niewielkiej fazie w pobliżu jednego z ziemińskich biegunów, kulminację (najdłuższe zaćmienie całkowite cyklu) osiąga w pobliżu równika i kończy się jako zaćmienie częstcowe o małej fazie blisko drugiego bieguna.

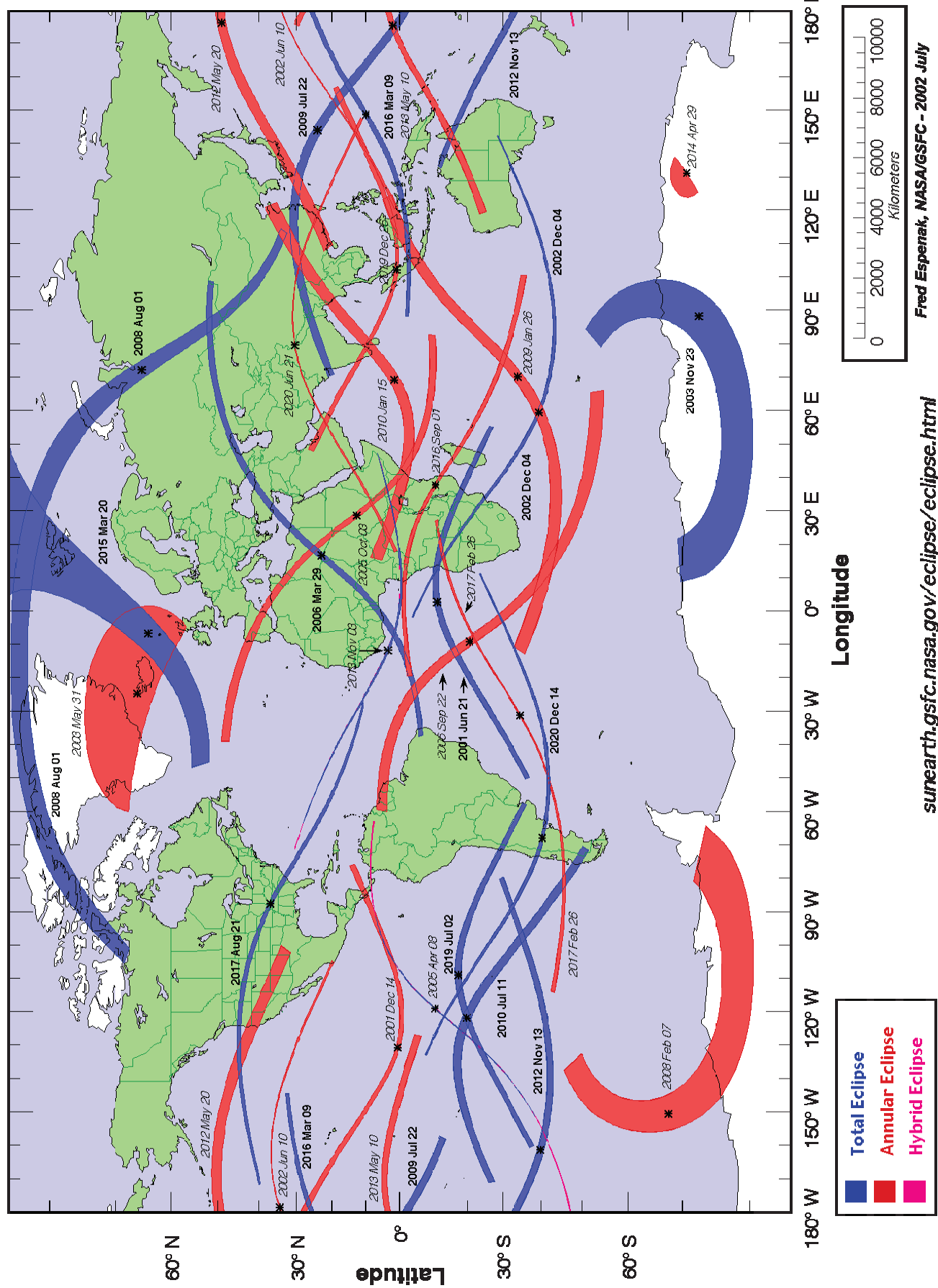
Zaćmienie w 2006r było powtórzeniem częstcowego zaćmienia, które miało miejsce 7 marca 1989 roku w Ameryce Północnej i należy do cyklu saros 149, który zaczął się 21.08.1664 r. i zakończy 29 września 2926 r.

W ciągu 1000 lat jest przeciętnie 2375 zaćmień Słońca (716 całkowitych) i 1543 zaćmień Księżyca (650 całkowitych)

Zaćmienia Słońca - kontakty



Zaćmienia Słońca w latach 2001-2020

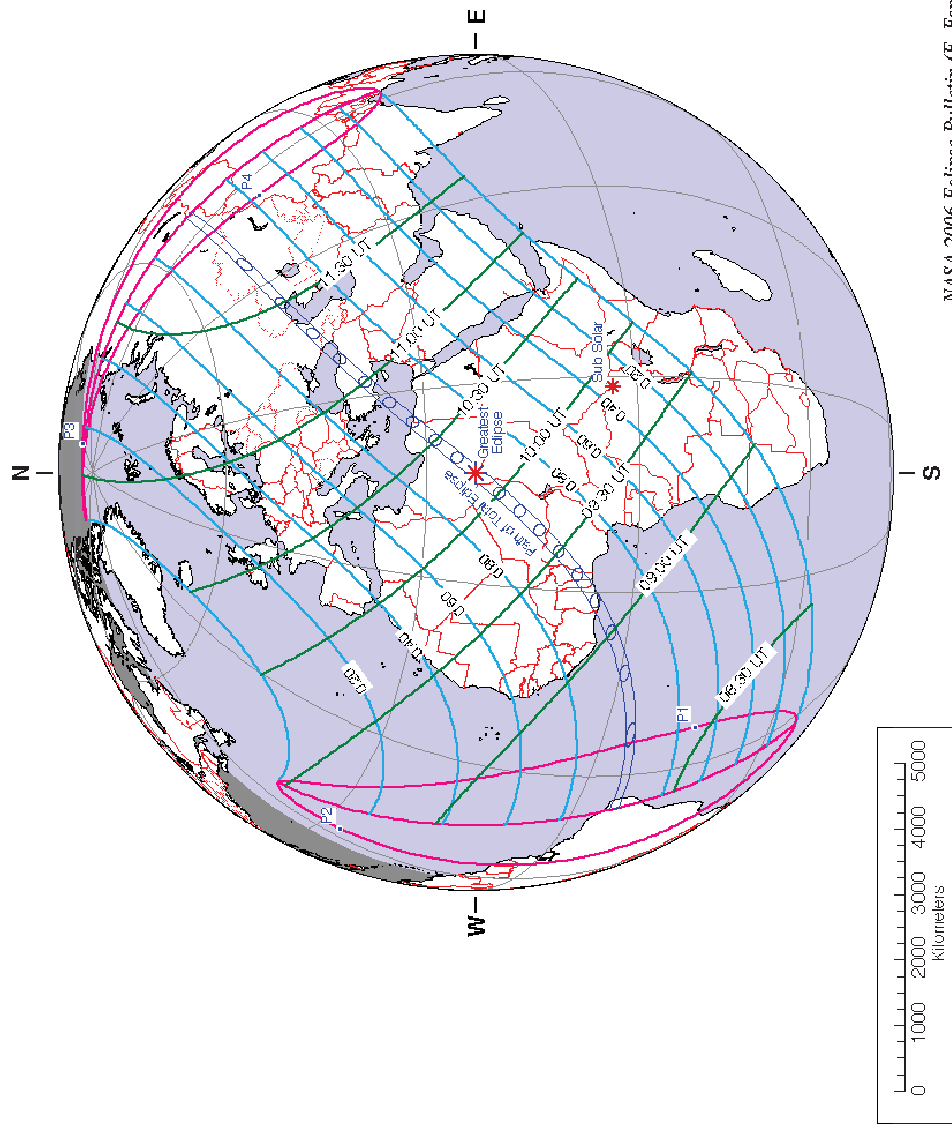


Zaćmienia Słońca w latach 2002-2010

Calendar Date	TD of Greatest Eclipse	Eclipse Type	Saros Series	Central Duration	Geographic Region of Eclipse Visibility
2002 Jun 10	23:45:22	Annular	137	00 ^m 23 ^s	e Asia, Australia, w N. America
2002 Dec 04	07:32:16	Total	142	02 ^m 04 ^s	s Africa, Antarctica, Indonesia, Australia
2003 May 31	04:09:22	Annular	147	03 ^m 37 ^s	Europe, Asia, nw N. America
2003 Nov 23	22:50:22	Total	152	01 ^m 57 ^s	Australia, N. Z., Antarctica, s S. America
2004 Apr 19	13:35:05	Partial	119	-	Antarctica, s Africa
2004 Oct 14	03:00:23	Partial	124	-	ne Asia, Hawaii, Alaska
2005 Apr 08	20:36:51	Hybrid	129	00 ^m 42 ^s	N. Zealand, N. & S. America
2005 Oct 03	10:32:47	Annular	134	04 ^m 32 ^s	Europe, Africa, s Asia
2006 Mar 29	10:12:23	Total	139	04 ^m 07 ^s	Africa, Europe, w Asia
2006 Sep 22	11:41:16	Annular	144	07 ^m 09 ^s	S. America, w Africa, Antarctica
2007 Mar 19	02:32:57	Partial	149	-	Asia, Alaska
2007 Sep 11	12:32:24	Partial	154	-	S. America, Antarctica
2008 Feb 07	03:56:10	Annular	121	02 ^m 12 ^s	Antarctica, e Australia, N. Zealand
2008 Aug 01	10:22:12	Total	126	02 ^m 27 ^s	ne N. America, Europe, Asia
2009 Jan 26	07:59:45	Annular	131	07 ^m 54 ^s	s Africa, Antarctica, se Asia, Australia
2009 Jul 22	02:36:25	Total	136	06 ^m 39 ^s	e Asia, Pacific Ocean, Hawaii
2010 Jan 15	07:07:39	Annular	141	11 ^m 08 ^s	Africa, Asia
2010 Jul 11	19:34:38	Total	146	05 ^m 20 ^s	s S. America

View: <http://sunearth.gsfc.nasa.gov/eclipse/eclipse.html>

Zaćmienie Słońca 29-03-2006



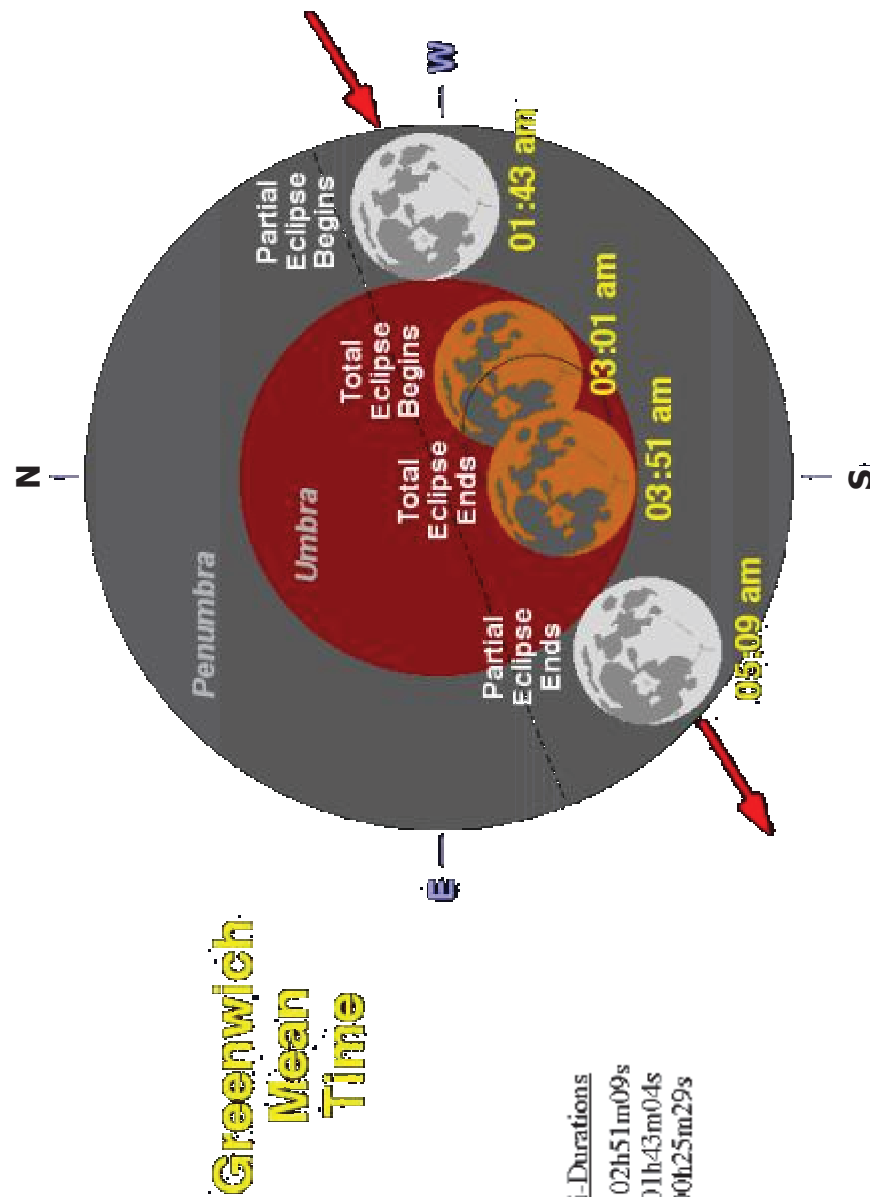
To zaćmienie obserwowała wyprawa koła naukowego IF AP "Pozyton" do Turcji

Całkowite zaćmienie Księżyca 21-02-2008

Sun at Greatest Eclipse
(Geocentric Coordinates)
R.A. = 22h15m30.0s
Dec. = -10°48'31.5"

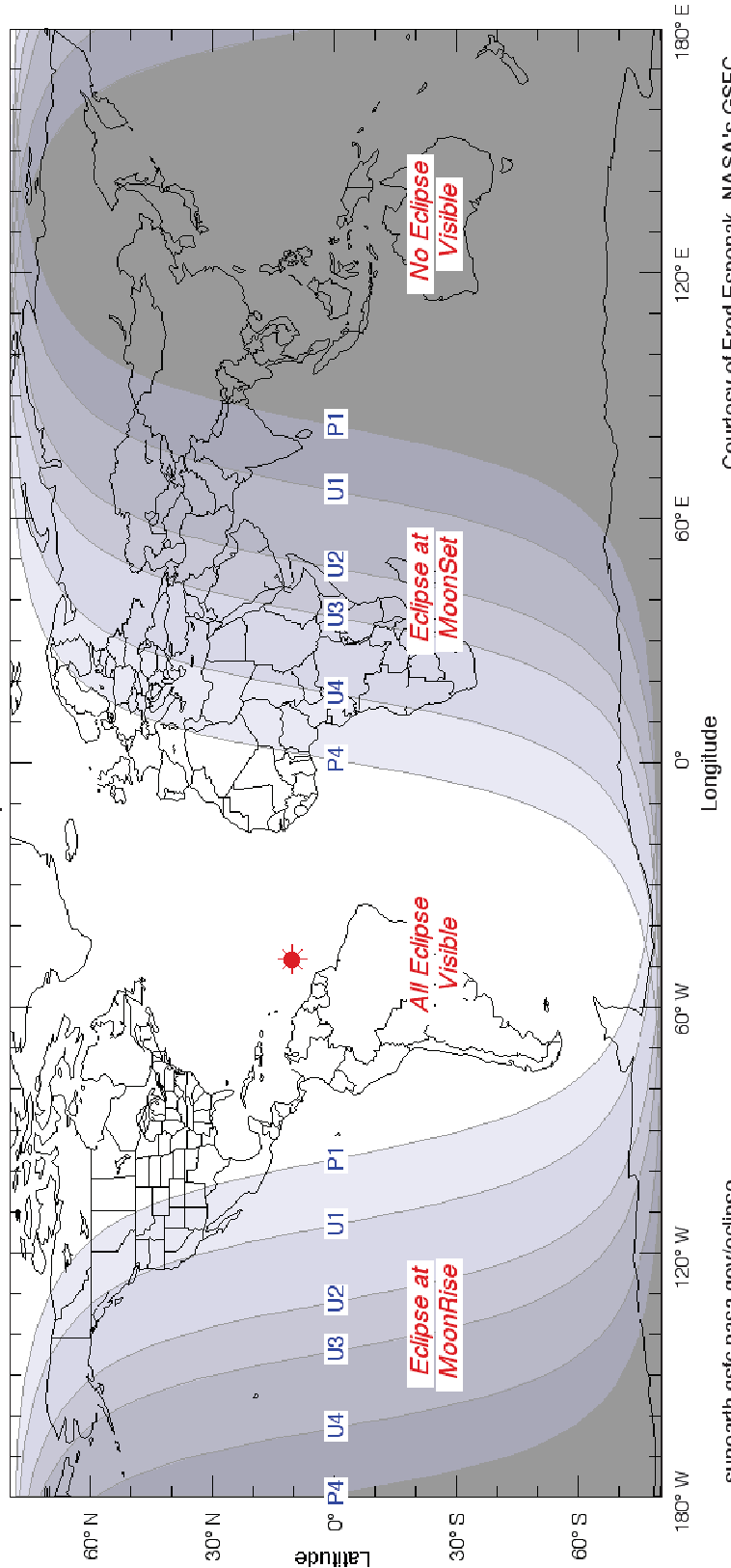
Saros Series = 133 Member = 26 of 71

Moon at Greatest Eclipse
(Geocentric Coordinates)
R.A. = 10h14m48.4s
Dec. = +10°28'07.7"



Całkowite zaćmienie Księżyca 21-02-2008

Total Lunar Eclipse: 2008 Feb 21



sunearth.gsfc.nasa.gov/eclipse

Courtesy of Fred Espenak, NASA's GSFC

P1 Zaczyna się zaćmienie półciemnawe

U1 Zaczyna się zaćmienie częściowe

U2 Zaczyna się zaćmienie całkowite

U3 Kończy się zaćmienie całkowite

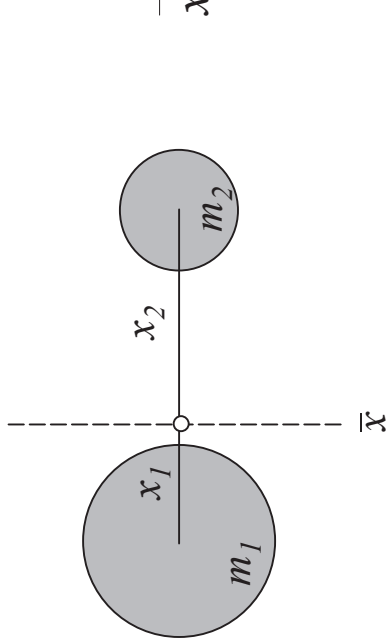
U4 Kończy się zaćmienie częściowe

P4 Kończy się zaćmienie półciemnawe

Lunar Eclipses: 2007 - 2012					
Date	Eclipse Type	Saros	Umbral Magnitude	Eclipse Duration	Geographic Region of Eclipse Visibility
<u>2007 Mar 03</u>	Total	<u>123</u>	1.238	03h42m 01h14m	Americas, Europe, Africa, Asia
<u>2007 Aug 28</u>	Total	<u>128</u>	1.481	03h33m 01h31m	e Asia, Aus., Pacific, Americas
<u>2008 Feb 21</u>	Total	<u>133</u>	1.111	03h26m 00h51m	c Pacific, Americas, Europe, Africa
<u>2008 Aug 16</u>	Partial	<u>138</u>	0.813	03h09m	S. America, Europe, Africa, Asia, Aus.
<u>2009 Feb 09</u>	Penumbral	<u>143</u>	-0.083	-	e Europe, Asia, Aus., Pacific, w N.A.
<u>2009 Jul 07</u>	Penumbral	<u>110</u>	-0.909	-	Aus., Pacific, Americas
<u>2009 Aug 06</u>	Penumbral	<u>148</u>	-0.661	-	Americas, Europe, Africa, w Asia
<u>2009 Dec 31</u>	Partial	<u>115</u>	0.082	01h02m	Europe, Africa, Asia, Aus.
<u>2010 Jun 26</u>	Partial	<u>120</u>	0.542	02h44m	e Asia, Aus., Pacific, w Americas
<u>2010 Dec 21</u>	Total	<u>125</u>	1.262	03h29m 01h13m	e Asia, Aus., Pacific, Americas, Europe
<u>2011 Jun 15</u>	Total	<u>130</u>	1.705	03h40m 01h41m	S. America, Europe, Africa, Asia, Aus.
<u>2011 Dec 10</u>	Total	<u>135</u>	1.110	03h33m 00h52m	Europe, e Africa, Asia, Aus., Pacific, N.A.
<u>2012 Jun 04</u>	Partial	<u>140</u>	0.376	02h08m	Asia, Aus., Pacific, Americas
<u>2012 Nov 28</u>	Penumbral	<u>145</u>	-0.184	-	Europe, e Africa, Asia, Aus., Pacific, N.A.

PŁYWY

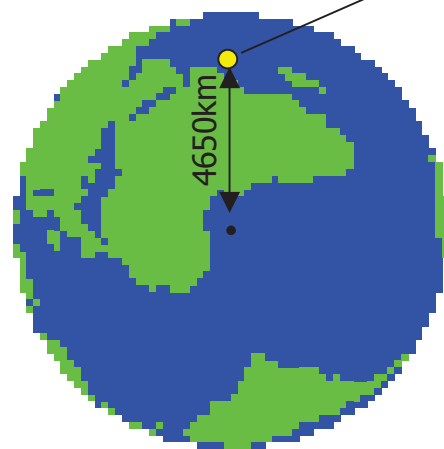
Ruch Ziemi wokół barycentrum



Barycentrum - geometryczny
środek masy dwóch lub więcej
mas związanych siłą grawitacji.

$$R_{\mathbb{D}} = 0.27 R_{\oplus} \quad M_{\mathbb{D}} = 1/81 M_{\oplus} \quad a = 384.4 \times 10^3 \text{ km} \approx 64 R_{\oplus} \quad P = 27.3^d$$

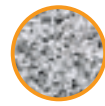
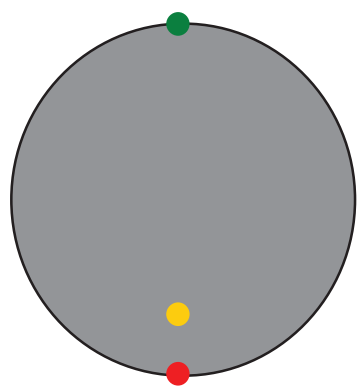
a nie jest w skali !!!



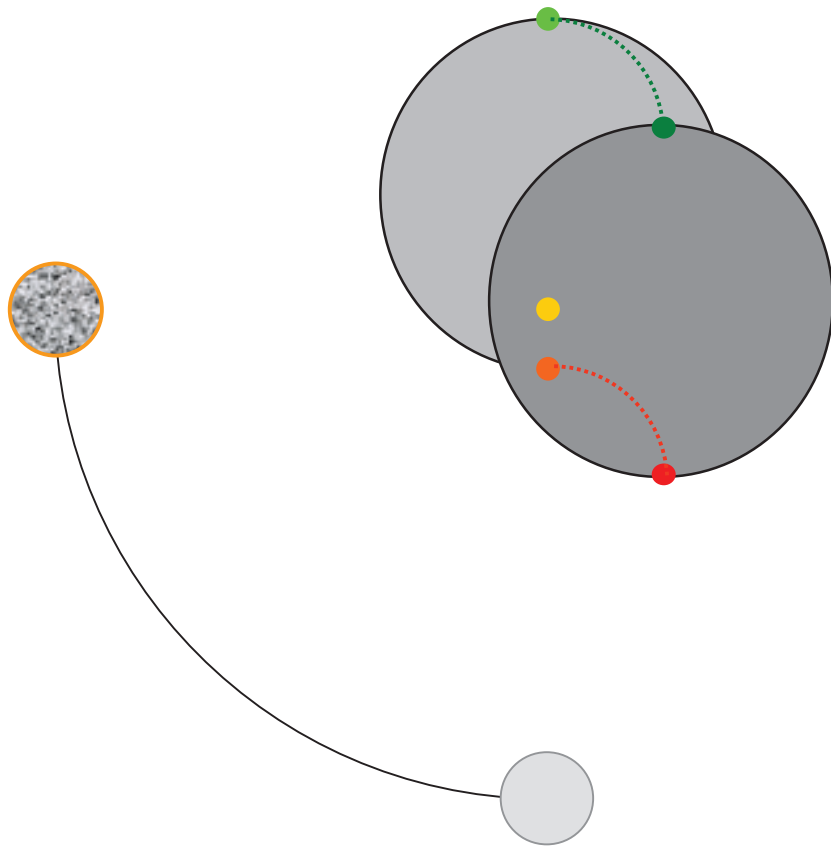
barycentrum – przemieszcza się wraz z ruchem Księżyca

Uwaga: Ruch Ziemi jest podobny do ruchu monety trzymanej palcem. To widać na animacji, której tu nie ma.

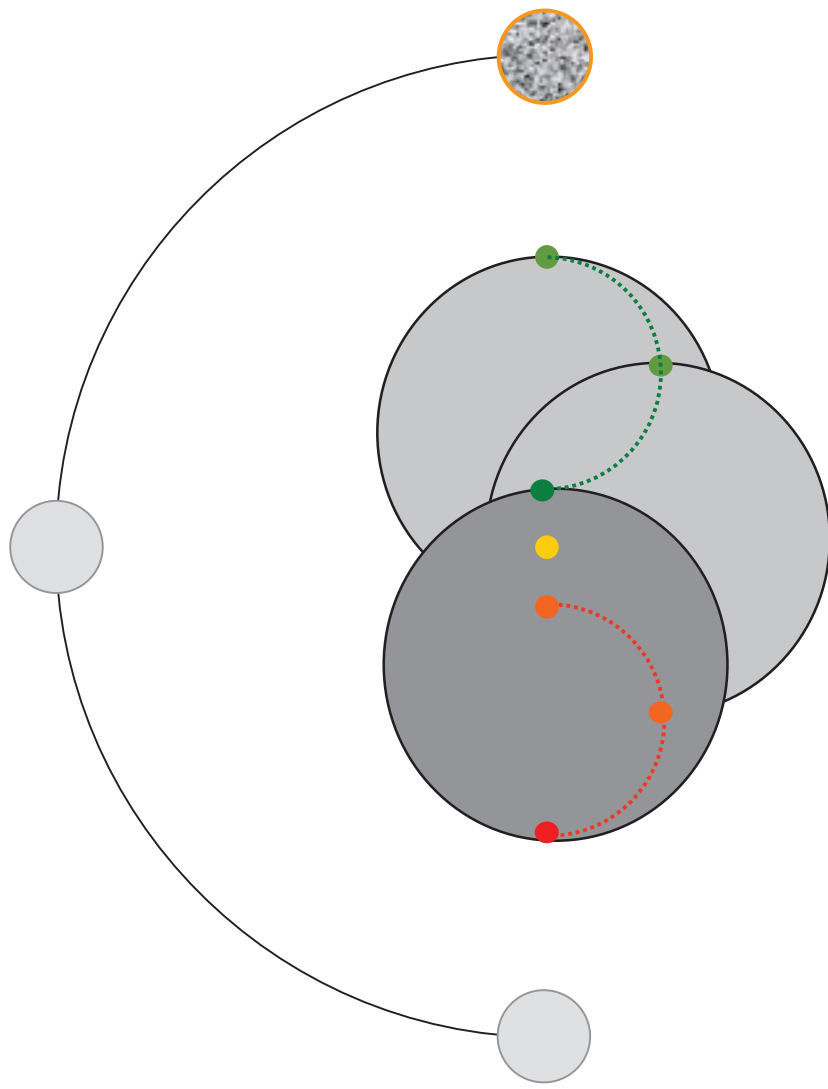
Ruch Ziemi wokół barycentrum



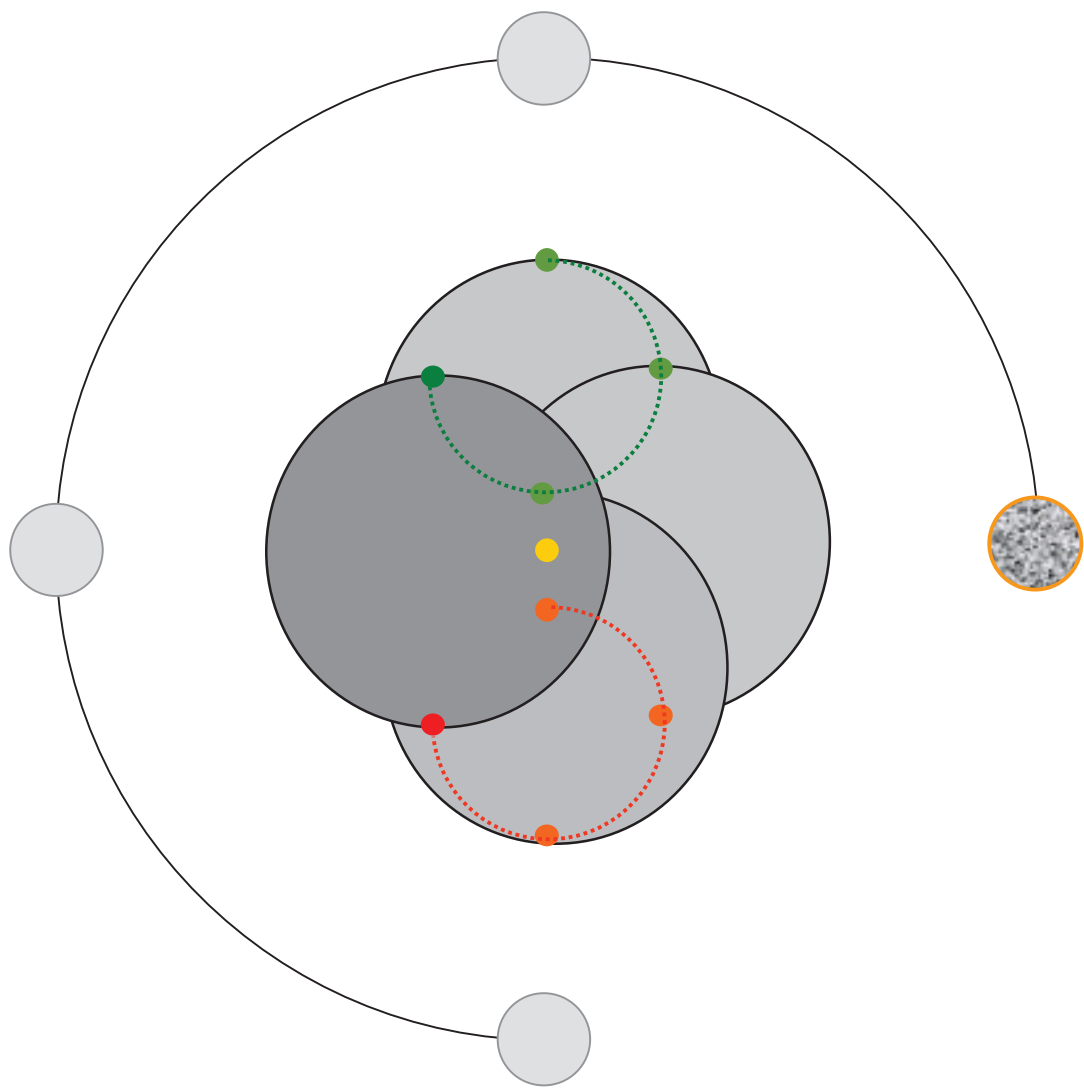
Ruch Ziemi wokół barycentrum



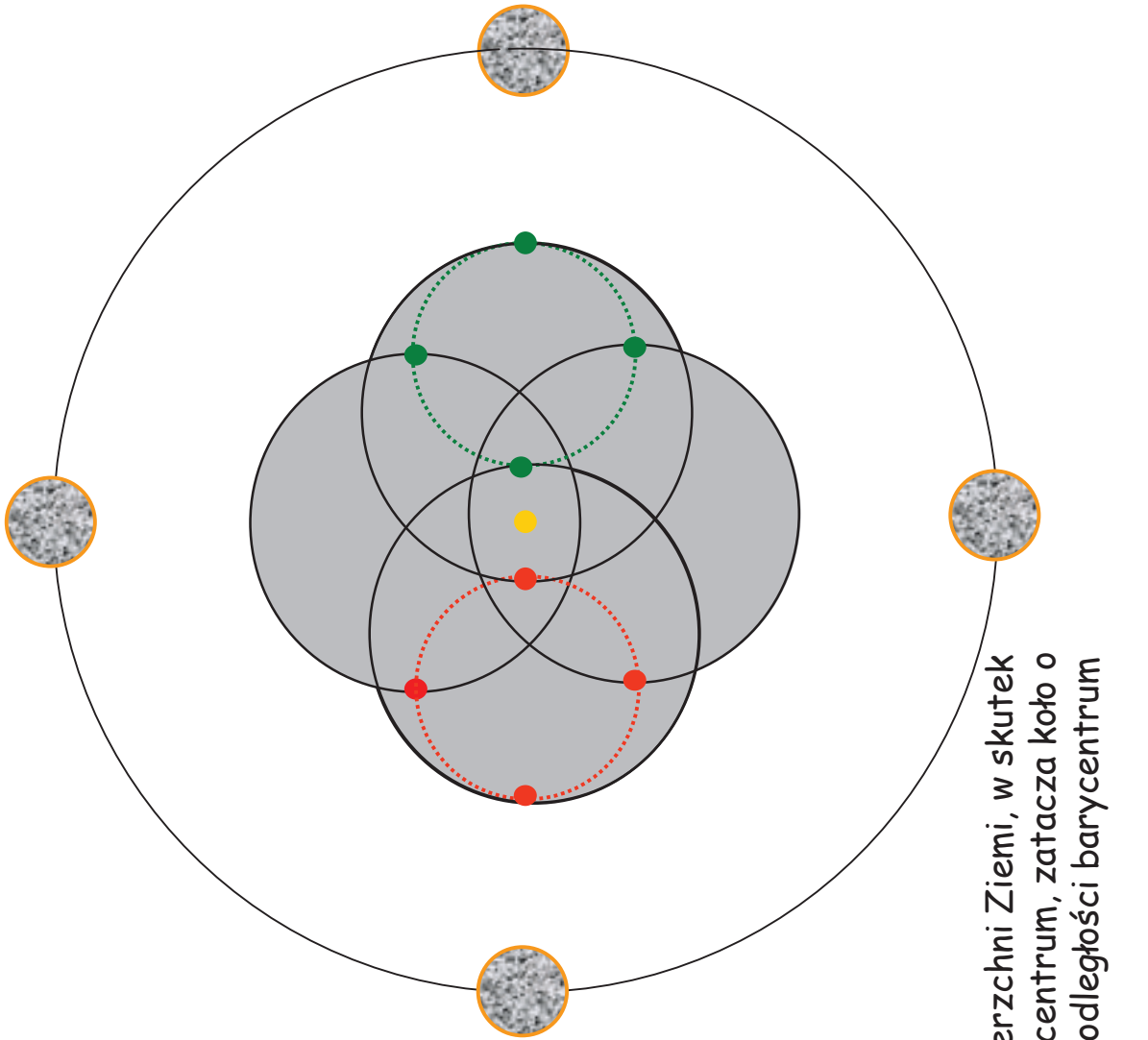
Ruch Ziemi wokół barycentrum



Ruch Ziemi wokół barycentrum

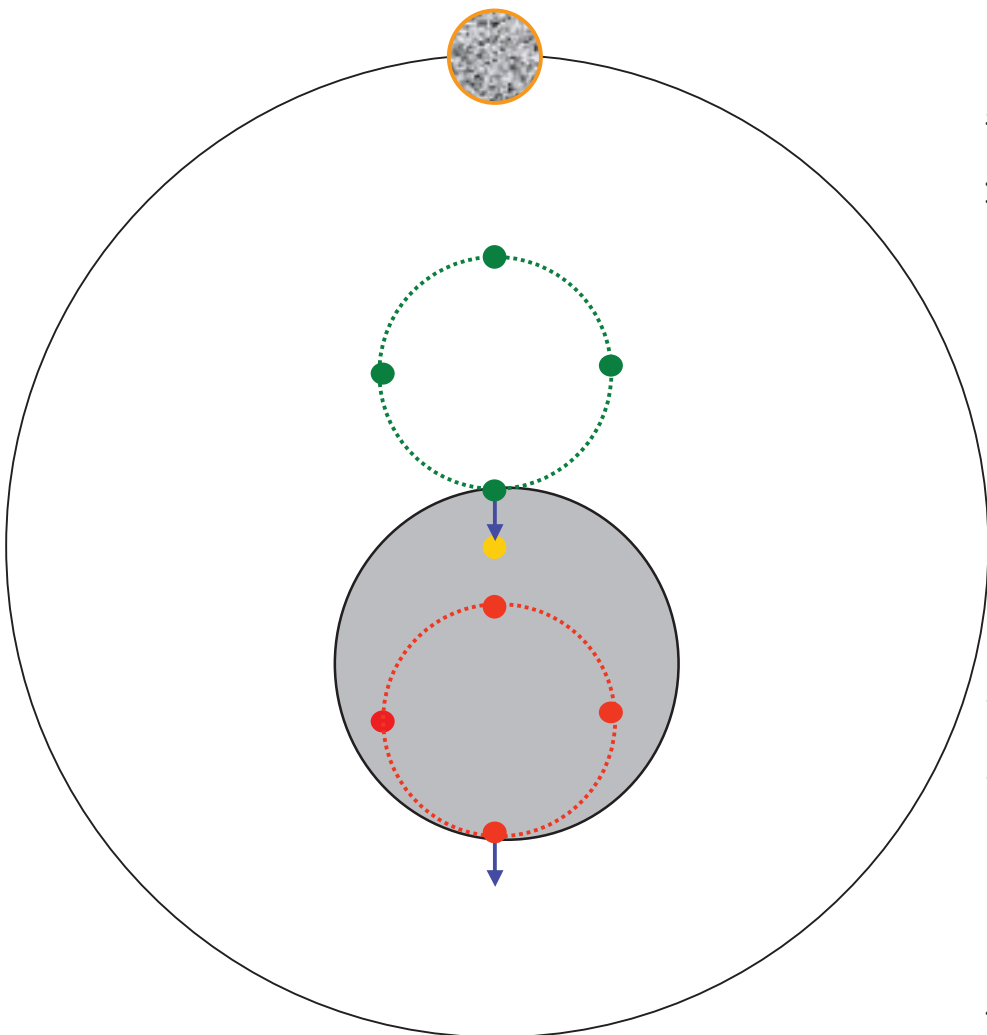


Ruch Ziemi wokół barycentrum



Każdy punkt na powierzchni Ziemi, w skutek jej ruchu wokół barycentrum, zatacza koło o promieniu r równym odległości barycentrum od środka Ziemi

Ruch Ziemi wokół barycentrum



Każdy punkt na powierzchni Ziemi, w skutek jej ruchu wokół barycentrum, zatacza koło o promieniu r równym odległości barycentrum od środka Ziemi

Sila odśrodkowa związana z tym ruchem jest skierowana w stronę przeciwną niż sila grawitacji Księżyca. Dla wszystkich punktów na powierzchni Ziemi sila odśrodkowa jest w kierunku od Księżyca

Zjawisko pływów

- Wielkość siły grawitacji F_g pomiędzy danym punktem na Ziemi a Księżycem zależy od jego odległości od Księżyca Ziemia i Księżyca.
- Wielkość siły odśrodkowej F_o związanej z ruchem punktu wokół barycentrum jest jednakowa dla całej Ziemi
- Powoduje to wybrzuszanie się skorupy Ziemi i podnoszenie poziomu wody w morzach i oceanach

$$F_g = G \cdot M_{\oplus} \cdot m / d^2$$

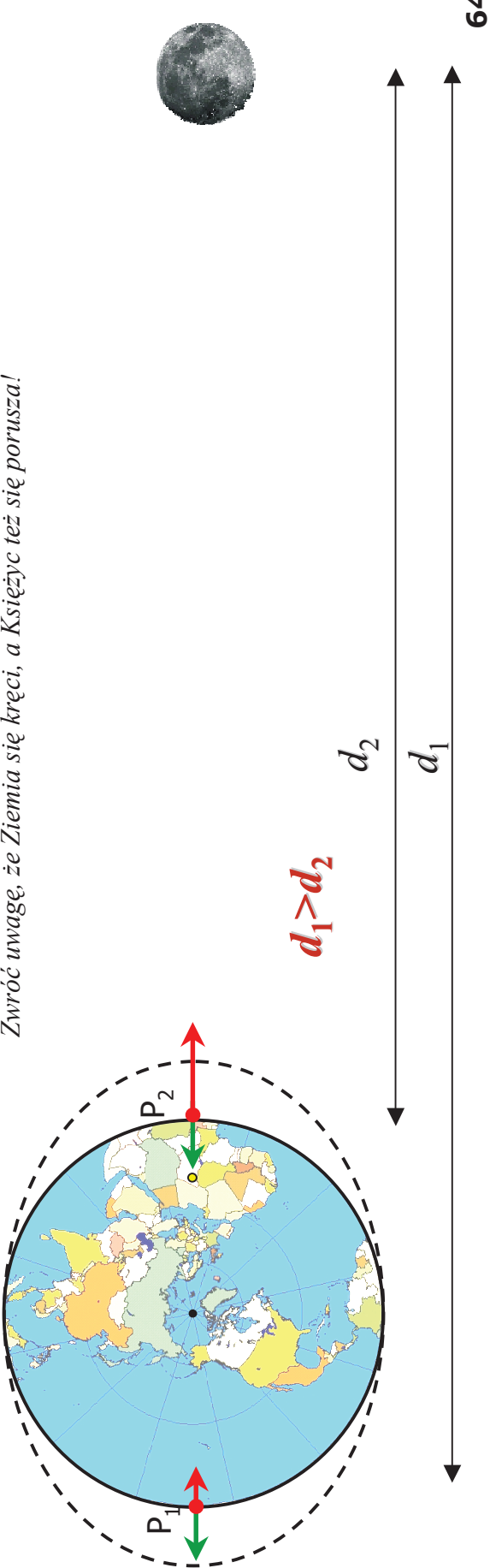
odległość punktu na
 Ziemi do środka Księżyca

$$F_o = m \cdot \Omega^2 \cdot r_B$$

odległość barycentrum
 od środka Ziemi

Obie siły równoważą się w środku Ziemi
 Na powierzchni w punktach P_1 i P_2 siła grawitacji różni się o 3% względem wartości w środku Ziemi. Siły więc nie równoważą się

Teraz powinno być jasne dlaczego powstaje symetryczne „jajo”
 Zwróci uwagę, że Ziemia się kręci, a Księżyca też się porusza!



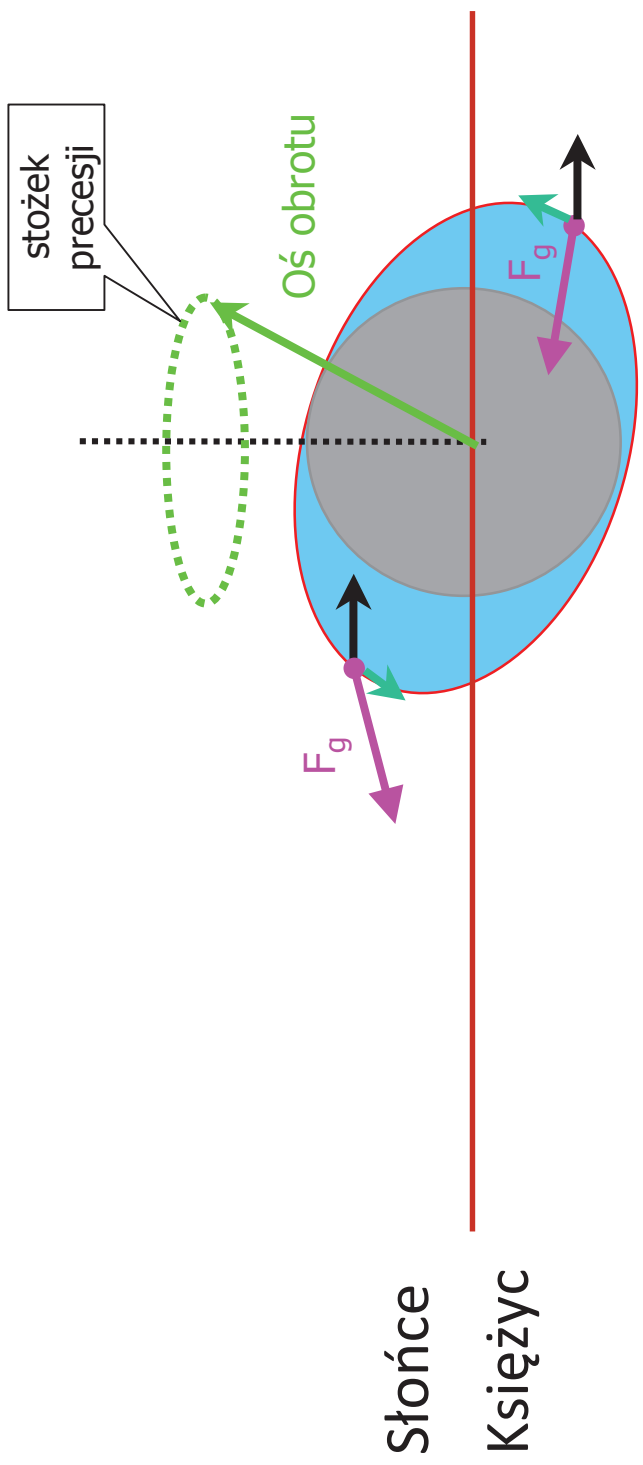
Zjawisko pływów

- Gdyby Ziemia była pokryta w całości wodą wielkość przyphywu wynosiłaby 36 cm, a odpływu 18cm. Obecność lądów i ukształtowanie dna morskiego powoduje, że obserwowane amplitudy pływów wahają się od kilku milimetrów do kilkunastu metrów w różnych miejscach (np.: Zatoka Fundy)
- Cykl pływów powtarza się 2 razy na 24^h50.5m . Moment maksimum jest opóźniony w stosunku do ekstremalnej wysokości Księżyca ze względu na tempo przemieszczania się mas wody (tzw. czas portowy)
- Istnieją także pływy wywołane przez Słońce lecz o 2.2 razy mniejszej amplitudzie. Najsilniejsze pływy obserwujemy podczas nowiu i pełni kiedy wpływ Słońca i Księżyca się sumuje
- Skorupa skalna unosi się także na wysokość około 20 cm



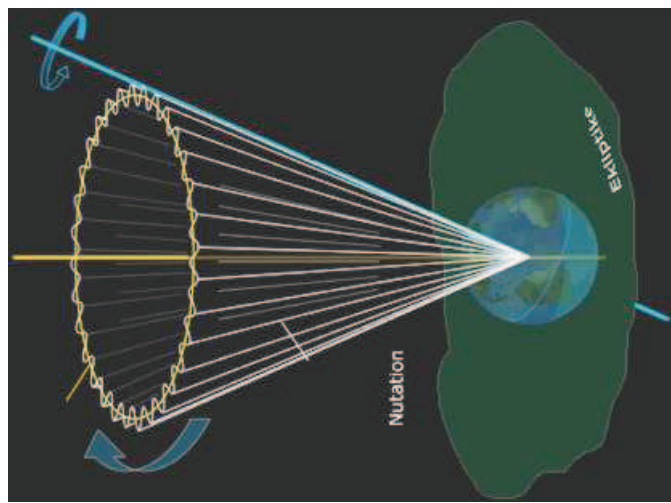
Precesja i nutacja

- Grawitacyjne oddziaływanie Słońca i Księżyca ze spłaszczoną (na skutek rotacji) Ziemią powodują, że oś obrotu Ziemi zmienia swoje położenie w przestrzeni
- Jest to konsekwencją nachylenia płaszczyzny ekleptyki do równika ziemskiego (23.5°) i nachylenia orbity Księżyca do ekleptyki (5°)
- Różne kierunki działania sił grawitacji F_g i odśrodkowych F_o powodują powstanie składowych prostujących \mathbf{F} wywołujących precesję i nutację osi

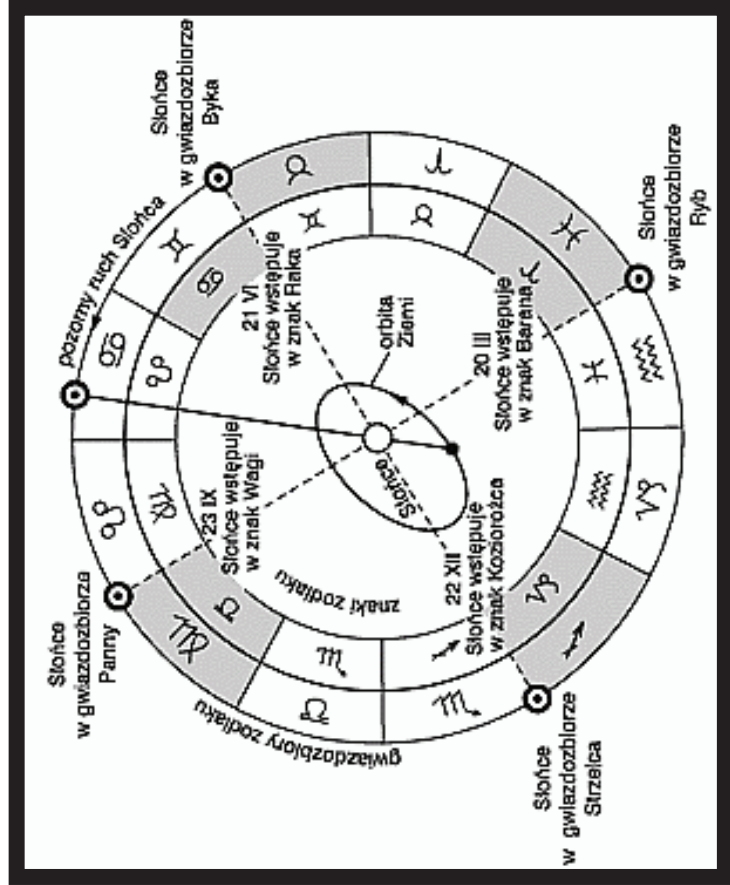
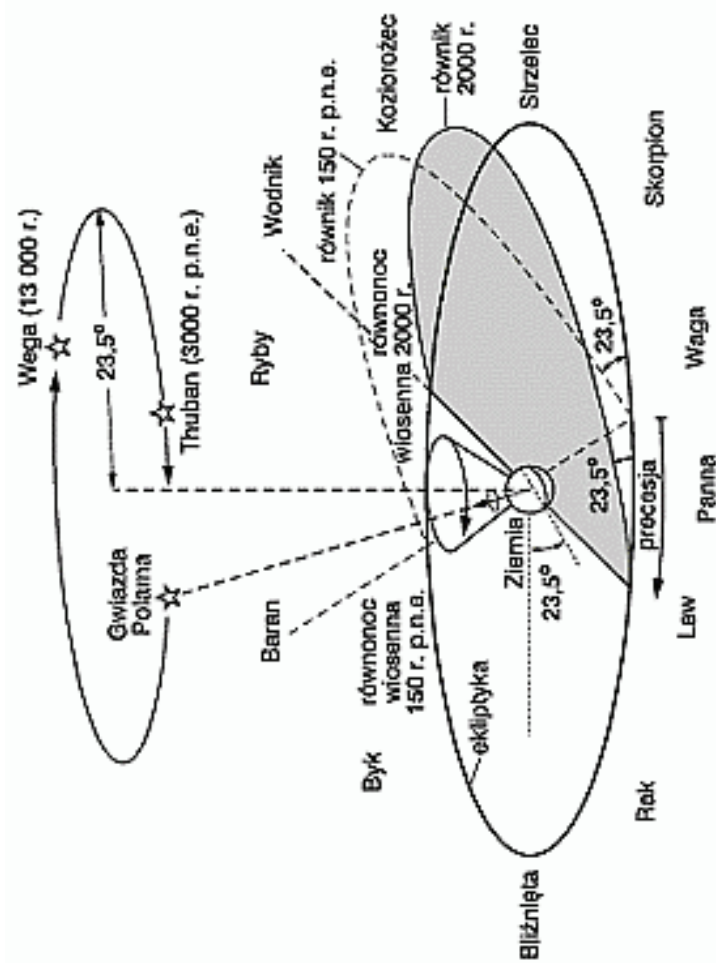


Precesja i nutacja

- Oś obrotu Ziemi w okresie ~26000 lat (rok Platona) zakreśla побocznicę o kącie wierzchołkowym $2 \cdot 23.5^{\circ}$
- Powoduje to dryfowanie bieguna niebieskich oraz punktów Barana i Wagi, a co za tym idzie zmianę współrzędnych astronomicznych
 - Dlatego podając wartość rektascensji i deklinacji podaje się też datę ich obowiązywania tzw. epokę
 - Biegun N zbliża się do Gwiazdy Polarnej (min. kąt w 2102 roku $27'$) W czasach budowy piramid gwiazdą biegunową był Tuban
- Okres nutacji (wpływu nachylenia orbity Księżyca do ekliptyki) wynosi 18.6 roku.
Amplituda nutacji wynosi $9''$. Z tym samym okresem wędrują węzły orbity Księżyca. Jest to rok zaćmieniowy

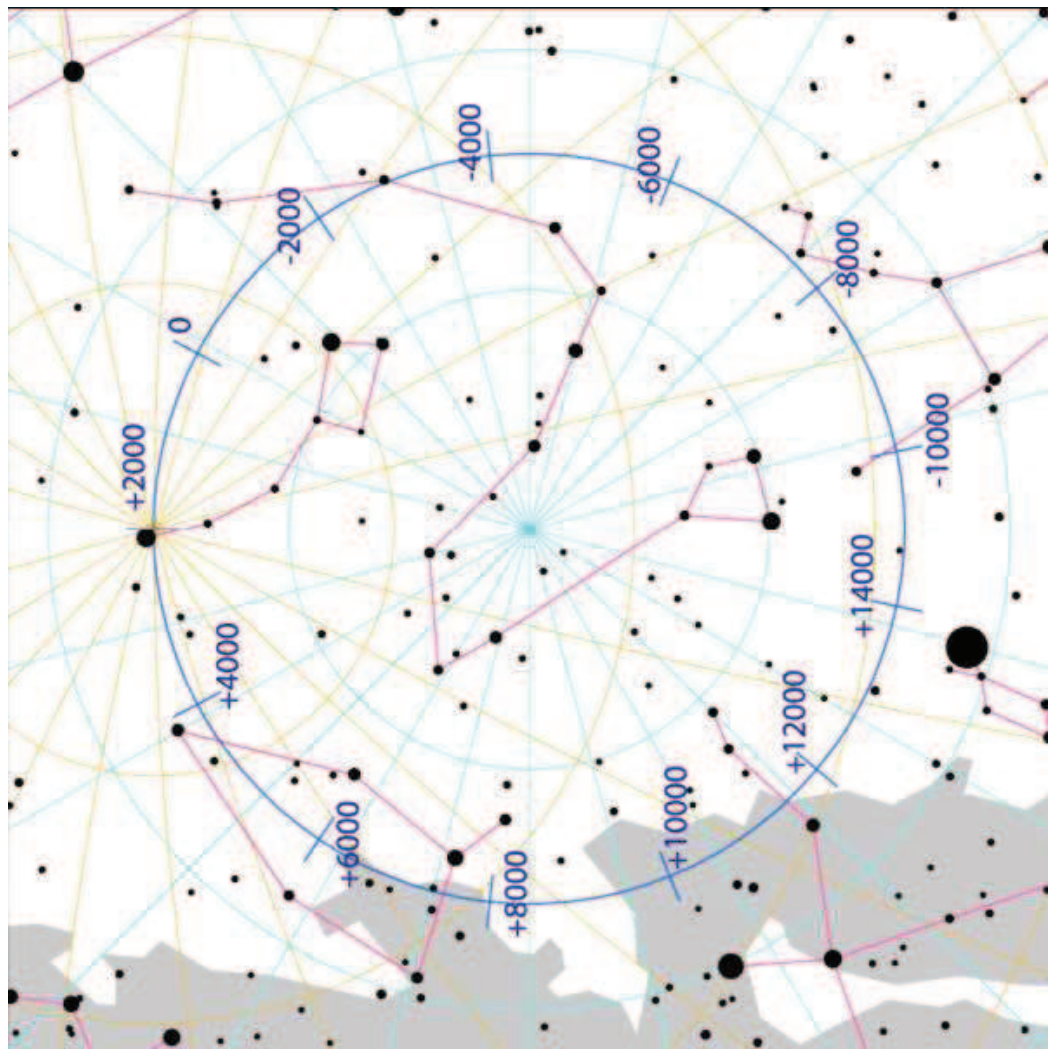


Precesja a znaki zodiaku

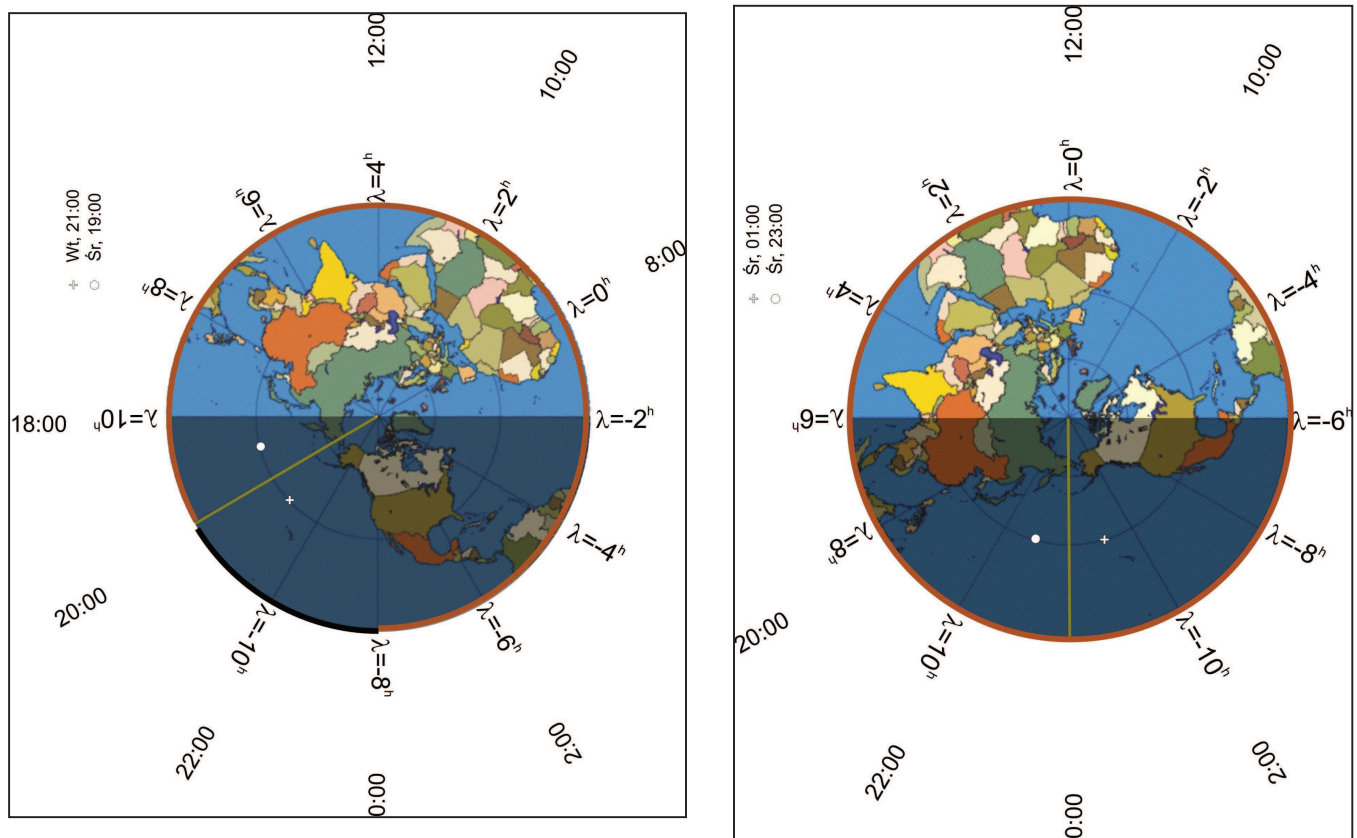
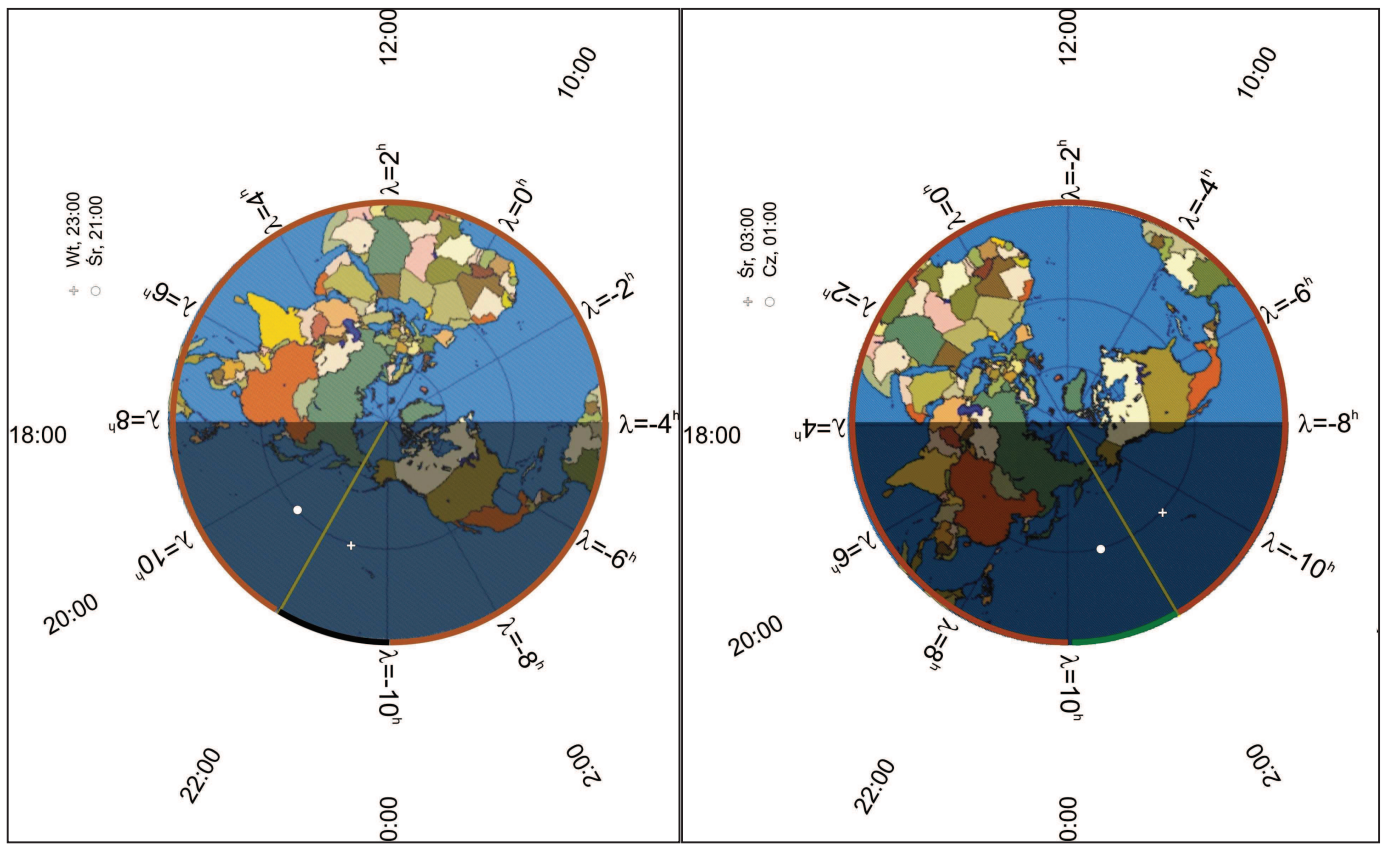


Okres precesji ~26000 lat (rok Platona). Po tym okresie punkt Barana ponownie będzie znajdował się w gwiazdozbiorze Barana

Położenie bieguna na sferze niebieskiej



Folie dodatkowe



Ruch satelitów po orbicie

Aby poruszać się po orbicie kołowej ciało musi mieć prędkość v taką, aby siła grawitacji \mathbf{F}_g była równa sile odśrodkowej \mathbf{F}_o

$$F_g = F_o \Rightarrow G \frac{Mm}{R^2} = \frac{mV^2}{R} \Rightarrow V = \sqrt{\frac{GM}{R}} \quad G - \text{stała grawitacji}$$

Jeśli za R podstawić promień planety to prędkość V jest to tak zwana pierwsza prędkość kosmiczna.

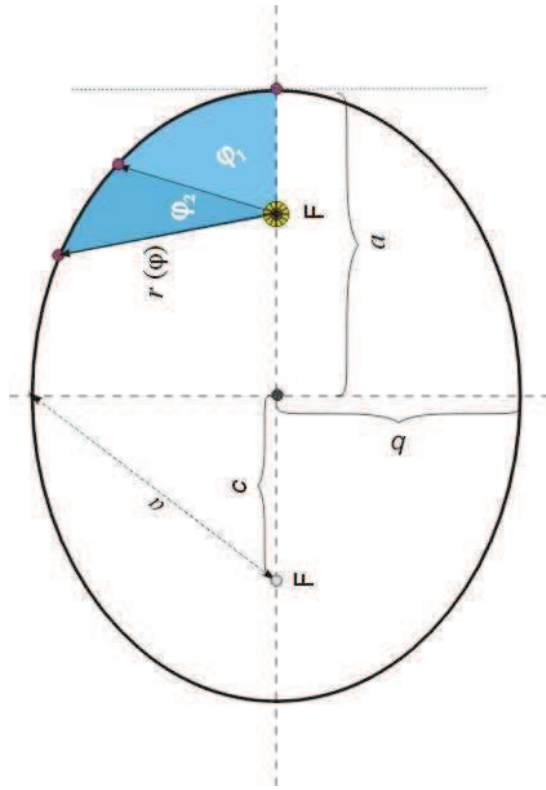
Ciało na orbicie o promieniu R w ciągu jednego obiegu T pokonuje drogę $S=2\pi R$. Ponieważ jednocześnie $S=V \cdot T$ to zmieniając promień orbity można ustalić pożądany okres obiegu.

Tak zwane satelity geostacjonarne obiegają Ziemię w czasie jednej doby w płaszczyźnie równika więc zachowują stałą pozycję względem powierzchni Ziemi.

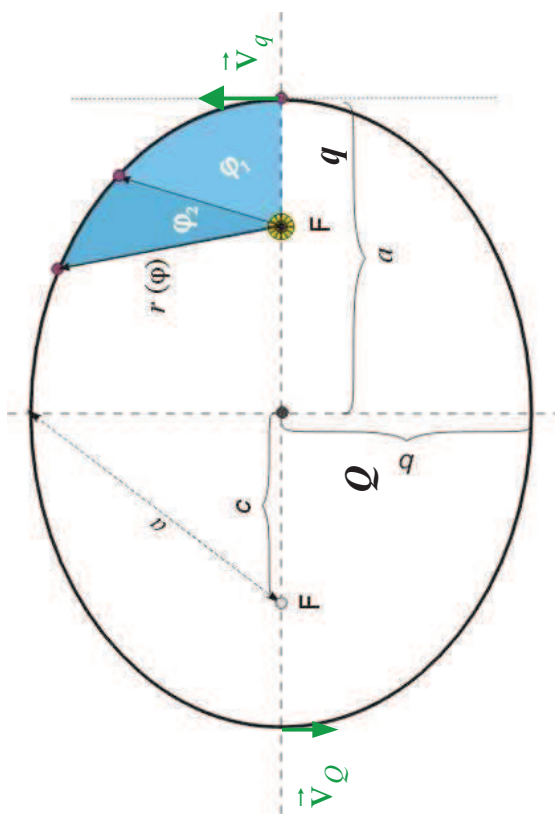
Zwrócić uwagę, że w perycentrum (q) i apocentrum (Q) prędkość jest prostopadła do promienia wodzącego. Można więc w tych punktach obliczyć bez wyższej matematyki moment pędu i energię satelity. Obie wielkości są zachowywane w trakcie ruchu.

$$\frac{mv^2}{2} - G \frac{Mm}{r} = \text{const} \quad mv_q q = m v_Q Q$$

Pozwala to wyliczyć Q jeśli dane jest q i v_q



Ruch satelitów



e - mimosród

e=0 – okrąg

0<e<1 – elipsa

e=1 – parabola

e>1 – hiperbola

$$r(\varphi) = \frac{p}{1 + e \cos \varphi}$$

$$q + Q = 2a$$

$$q = \frac{p}{1+e} \quad Q = \frac{p}{1-e}$$

$$\frac{q}{Q} = \frac{1-e}{1+e}$$

$$\frac{v_q^2}{2} - G \frac{M}{q} = \frac{v_Q^2}{2} - G \frac{M}{Q}$$

zasada zachowania energii

$$v_q q = v_Q Q$$

zasada zachowania momentu pędu

$$\frac{v_q^2}{2} \left(1 - \frac{q^2}{Q^2} \right) = G \frac{M}{q} \left(1 - \frac{q}{Q} \right)$$

jeśli $v_q < v_I$ to Q i q zamieniają się rolami.

bo $-1 < e \leq 0$ oznacza zmianę fazy o 180° many

$$1 + |e| \cos(180 + \varphi)$$

Ciało spada na Ziemię!

$$v_q^2 = G \frac{M}{q} (1 + e)$$

$$v_q^2 = G \frac{M_{\oplus}}{R_{\oplus}} (1 + e)$$

$$\frac{v_q^2}{2} \left(1 + \frac{1-e}{1+e} \right) = G \frac{M}{q}$$

$$\text{jeśli } q = R_{\oplus} \quad \Rightarrow \quad$$

$$e = (GM_{\oplus}/R_{\oplus})^{1/2} = v_I$$

$$e=1 \Rightarrow v = (2GM_{\oplus}/R_{\oplus})^{1/2} = \sqrt{2} v_I = v_{II}$$

$$e = (v_q/v_I)^2 - 1$$

$$q = R_{\oplus} + h \Rightarrow e = \frac{v_q^2}{v_I^2} \left(1 + \frac{h}{R_{\oplus}} \right) - 1$$

zauważ, że dla $h=3000\text{ km}$ $h/R=0.047$ czyli ok. 5%

Ruch satelitów

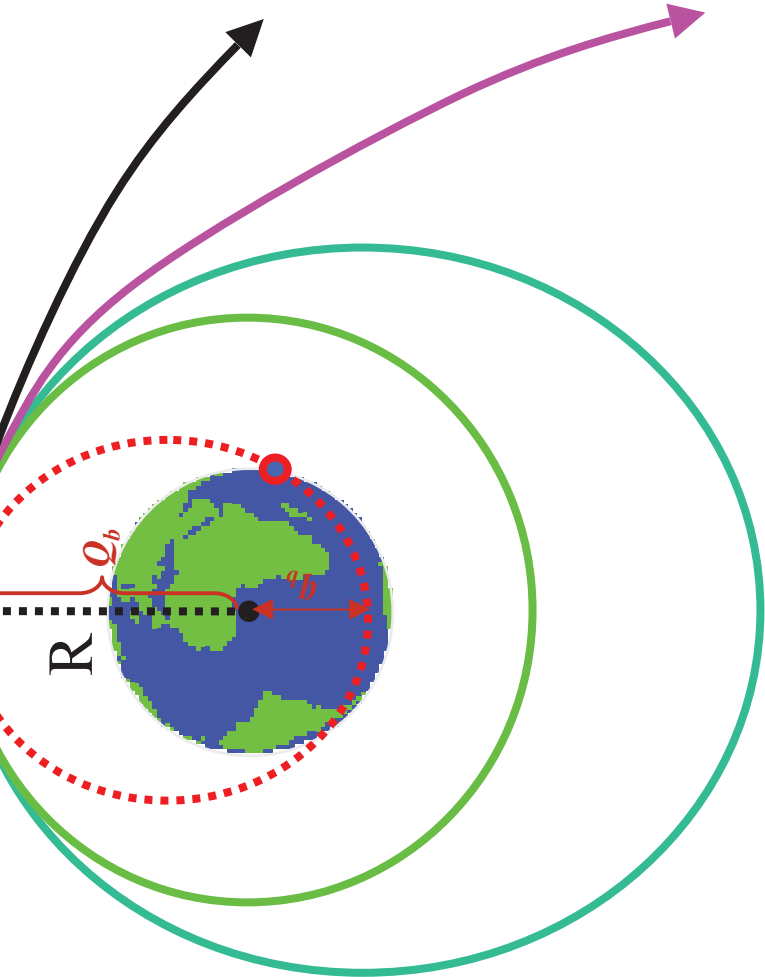
$$V_I = (GM_{\oplus}/R_{\oplus})^{1/2}$$

$$V_{II} = (2GM_{\oplus}/R_{\oplus})^{1/2}$$

$$V_{II} = \sqrt{2} V_I$$

$$e = \left(\frac{V_q}{V_1} \right)^2 - 1 \quad \text{dla } V_0 \geq V_1$$

$$e = \left(\frac{V_Q}{V_1} \right)^2 - 1 \quad \text{dla } 0 < V_q \leq V_1$$



a) $V_0 = 0$ pionowy spadek

b) $0 < V_0 < V_1$ rzut ukośny

c) $V_0 = V_1$ orbita kołowa ($e=0$)

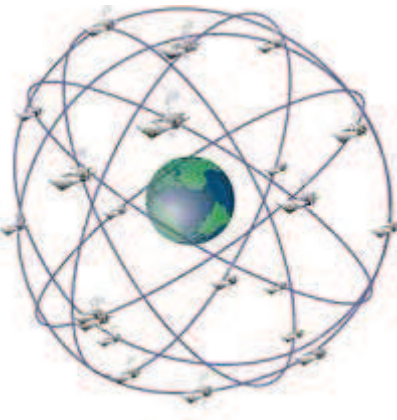
d) $V_1 < V_0 < V_1$ orbita eliptyczna ($0 < e < 1$)

e) $V_0 = V_{II}$ parabola ($e=1$)

f) $V_0 > V_{II}$ hiperbola ($e > 1$)

System satelitarny GPS

- Sieć GPS składa się z 24 satelitów umieszczonych na orbitach o wysokości nad Ziemią 20200 km.
- Czas jednego obiegu wynosi dokładnie 12 godzin gwiazdowych przez co orbity nie zmieniają swojego przestrzennego położenia.
- Satelity rozmieszczone są w sześciu równo odległych (co 60°), płaszczyznach. Nachylenie każdej orbity do równika wynosi 55° . Na każdej orbicie znajdują się co najmniej 4 obiekty satelitarne (gdy jeden zachodzi, inny wschodzi ponad lokalny horyzont). Orbity są tego typu, że konstelacja satelitarna zapewnia użytkownikowi systemu widoczność od pięciu do ośmiu satelitów z każdego miejsca na Ziemi.
- Każdy z satelitów wyposażony jest w zegar atomowy, generujący częstotliwość i lokalną skalę czasu.
- System kontrolowany jest przez sieć stacji naziemnych rozmieszczonych na całym świecie.
 - Macierzysta stacja kontrolna znajduje się w bazie wojskowej Schriever Air Force koło Colorado Springs.
Stacje kontrolne odbierają sygnały od satelitów, wyznaczają ich pozycję orbitalną i poprawki do zegarów znajdujących się na każdym z satelitów.
 - Główną rolą macierzystej stacji jest nadawanie do satelity depeszy zawierającej informacje o jego pozycji w danym momencie czasu, poprawki zegarowe oraz inne dane jak np. stan atmosfery, poprawki relatywistyczne itp. Depesza jest przez satelitę retransmitowana do użytkowników systemu.



System satelitarny GPS

Zasada pomiaru

- Struktura sygnału GPS umożliwia odbiornikowi wyznaczenie czasu, jaki upłynął od momentu wysłania sygnału przez satelitę do momentu odbioru i określenie w ten sposób położenia s satelity w momencie nadawania sygnału: $\mathbf{s} = \mathbf{c} \times \mathbf{t}$, (gdzie \mathbf{s} - droga sygnału, \mathbf{c} - prędkość światła, \mathbf{t} - czas po jakim sygnał z satelity dociera do odbiornika).
- Dane nawigacyjne służą odbiornikowi do określenia położenia satelity w momencie nadawania sygnału. Odległości do satelitów i ich współrzędne są wystarczajyciymi danymi do wyznaczenia położenia odbiornika.
- Do wyznaczenia trójwymiarowej pozycji użytkownika konieczne jest namierzenie czterech satelitów, do wyznaczenia pozycji kątowej (długość, szerokość geograficzna) wystarczy jednocośne namierzenie trzech satelitów. Trójwymiarowa pozycja zawiera, oprócz danych kątowych, wysokość na jakiej znajduje się odbiornik w stosunku do określonej elipsoidy odniesienia. Istnieje możliwość wyboru elipsoidy odniesienia.

Pomiar czasu przebiegu sygnału kodowanego

Oby określić czas propagacji sygnału użytkownik musi dysponować kopią kodu jaki nadaje satelita. Kod odbierany jest porównywany z kodem jaki ma użytkownik. Sygnałem jest fala elektromagnetyczna z nałożoną na nią kodem zero-jedynkowym. Podobny kod odtwarzany jest przez odbiornik. Pomiar polega na zsynchroinizowaniu fali wytworzonej przez odbiornik z falą odebraną od satelity. Długość przesunięcia kodów daje informację o czasie propagacji sygnału. Pomiar odległości metodą przesunięcia kodów daje błąd pozycji około 3m w przypadku kodu C/A i około 0.3m dla kodu P.

Przykłady obliczeń

03-06-2008 12:00 UT: $\eta = +1^m 50s$.

O której godzinie czasu urzędowego 03-06-2008 górowało Słońce w Hadze ($\lambda=+0^h 19^m 30s$)?

Słońce góruje czyli $t_\odot=0^h$ a więc $T_\odot=12^h$ $\eta = T_\odot - T_{\bar{\odot}} \quad T_{\bar{\odot}} = T_\odot - \eta \quad T_{\bar{\odot}} = 12^h - 1^m 50s = 11^h 58^m 10^s$

$UT = T_{\bar{\odot}} - \lambda$ czas urzędowy w Hadze jest taki jak w Polsce tj. w lecie CWE=UT+2^h

$UT = 11^h 58^m 10^s - 0^h 19^m 30^s = 11^h 57^m 70^s - 0^h 19^m 30^s = 11^h 38^m 40^s$;

CWE=UT+2^h → **CWE=13^h38^m40^s** czyli południe prawdziwe jest o 13:38:40

Jaki był kat godzinny Słońca w Hadze 03-06-2008 o 12:00 czasu urzędowego?

CWE=12^h→UT=10^h $T_{\bar{\odot}} = UT + \lambda = 10^h 19^m 30^s \quad T_\odot = T_{\bar{\odot}} + \eta = 10^h 19^m 30^s + 1^m 50s = 10^h 21^m 20^s$

$T_\odot < 12^h$ a $0^h \leq t < 24^h$. Jeśli $t < 0$ to należy dodać 24^h . Tak więc $T_\odot - 12^h + 24^h = T_\odot + 12^h$
stąd $t_\odot = T_\odot + 12^h = 22^h 21^m 25^s$.

21 XI 2007 o 10:44 CSE zaobserwowano Słońce w momencie górowania na wysokośći $h_{gS}=19^{\circ}33'$.
Obliczyć współrzędne geograficzne miejscowości. ($\delta_\odot=-20^{\circ}0' \quad \eta = +14^m 0s$)

$T_\odot=12^h; \quad UT=9:44 \quad T_{\bar{\odot}} = T_\odot - \eta \quad T_{\bar{\odot}} = 12^h - 14^m 0^s = 11^h 46^m 0^s$

$T_{\bar{\odot}} = UT + \lambda \quad \lambda = T_{\bar{\odot}} - UT = 11^h 46^m - 9^h 44^m = 2^h 2^m$

$\lambda = +2^h 2^m = 30^{\circ}30' E$

$h_{gS} = 90^{\circ} - \varphi + \delta ; \quad \varphi=90^{\circ} + \delta - h_{gS} = 90^{\circ} - 20^{\circ} - 19^{\circ}33' = +50^{\circ}27'$

$\varphi=50^{\circ}27' N$

Przykłady obliczeń

Dwie gwiazdy mają rektascensję równą odpowiednio $\alpha_1=3^{\text{h}}47^{\text{m}}22^{\text{s}}$ i $\alpha_2=15^{\text{h}}35^{\text{m}}15^{\text{s}}$ dla gwiazdy 1 zmierzono ką godzinny $t_1=2^{\text{h}}15^{\text{m}}$. Ile wynosi kąt godzinny drugiej gwiazdy?

$$t + \alpha = T_* \text{ stąd } t_1 + \alpha_1 - \alpha_2 = t_2 = 14^{\text{h}}27^{\text{m}}7^{\text{s}}$$

Jaki będzie czas gwiazdowy o północy czasu urzędowego 07-05-2008 w Krakowie ($\lambda=1^{\text{h}}20^{\text{m}}$)?

$$\text{CWE}=24:00; \quad \text{UT}=22:00 \quad T_{\odot} = \text{UT} + \lambda = 23^{\text{h}}20^{\text{m}} \quad T_{\odot} = T_{\odot} + \eta \quad t_{\odot} = T_{\odot} \pm 12^{\text{h}} \quad t + \alpha = T_*$$

Jakie są α_{\odot} i η o 22:00 UT 06-05-2008? Potrzebny jest kalendarz astronomiczny

00:00 UT	α_{\odot}	δ_{\odot}	η
06-05-2008	$2^{\text{h}}53^{\text{m}}31^{\text{s}}$	$+16^{\circ}35.0'$	$+3^{\text{m}}23^{\text{s}}$
07-05-2008	$2^{\text{h}}57^{\text{m}}23^{\text{s}}$	$+16^{\circ}51.6'$	$+3^{\text{m}}27^{\text{s}}$

$$T_{\odot} = T_{\odot} + \eta = 23^{\text{h}}20^{\text{m}}00^{\text{s}} + 3^{\text{m}}26.89^{\text{s}} = 23^{\text{h}}20^{\text{m}}26.9^{\text{s}} \quad t_{\odot} = T_{\odot} - 12^{\text{h}} = 11^{\text{h}}20^{\text{m}}26.9^{\text{s}}$$
$$T_* = t_{\odot} + \alpha_{\odot} = 11^{\text{h}}20^{\text{m}}26.9^{\text{s}} + 2^{\text{h}}57^{\text{m}}16.6^{\text{s}} = 14^{\text{h}}17^{\text{m}}43.5^{\text{s}}$$

Zwrócić uwagę na to, że $T_*(\lambda)=T_*(\lambda=0) + \lambda$, czyli wystarczy znać czas gwiazdowy na jednym południu by znać go dla dowolnego miejsca na Ziemi!!

Jesli Państwo uważnie czytali "drobne druzki" to pewnie by wymyślili, że
 $\alpha_{\odot} = 18^{\text{h}}41^{\text{m}}50^{\text{s}}.54841 + 8640184^{\text{s}}.812866T + 0^{\text{s}}.093104T^2 - 6^{\text{s}}.210 \cdot 10^{-6}T^3$ gdzie $T=(JD-JD_{2000})/36525$
 $\eta = 7.7^{\text{m}} \sin(l_{\odot} + 78^{\circ}) + 9.5^{\text{m}} \sin(2l_{\odot})$ gdzie l_{\odot} długość ekliptyczna Słońca
Wystarczy obliczyć czas gwiazdowy na południu Greenwich o 00:UT (JD będzie połówkowe!)
Następnie wyrazić 22^h czasu słonecznego w godzinach "gwiazdowych"